

# Projections Molteni

---

ÉDITIONS DE DIAPOSITIVES

POUR

Conférences Scientifiques et Mondaines

---

CATALOGUE GÉNÉRAL

DES

VUES SCIENTIFIQUES & LITTÉRAIRES

classées suivant un ordre méthodique et rationnel

(TOUS DROITS DE REPRODUCTIONS RÉSERVÉS)

---

RADIGUET<sup>®</sup> & MASSIOT<sup>®</sup>

ÉDITEURS

SUCCESSIONS DE

A. MOLteni Chevalier de la Légion d'honneur  
Officier de l'Instruction Publique Maison fondée en 1782

44, RUE DU CHATEAU-D'EAU (X<sup>e</sup> ARROND<sup>t</sup>)

13 & 15, BOULEVARD DES FILLES-DU-CALVAIRE (III<sup>e</sup> ARROND<sup>t</sup>)

PARIS

---

POUR LES PROJECTIONS

S'ADRESSER : ~~44, RUE DU CHATEAU-D'EAU~~ 44

75. 1011. M. des 10-11-12-13-14-15-16-17-18-19-20-21-22-23-24-25-26-27-28-29-30-31-32-33-34-35-36-37-38-39-40-41-42-43-44-45-46-47-48-49-50-51-52-53-54-55-56-57-58-59-60-61-62-63-64-65-66-67-68-69-70-71-72-73-74-75-76-77-78-79-80-81-82-83-84-85-86-87-88-89-90-91-92-93-94-95-96-97-98-99-100-101-102-103-104-105-106-107-108-109-110-111-112-113-114-115-116-117-118-119-120-121-122-123-124-125-126-127-128-129-130-131-132-133-134-135-136-137-138-139-140-141-142-143-144-145-146-147-148-149-150-151-152-153-154-155-156-157-158-159-160-161-162-163-164-165-166-167-168-169-170-171-172-173-174-175-176-177-178-179-180-181-182-183-184-185-186-187-188-189-190-191-192-193-194-195-196-197-198-199-200-201-202-203-204-205-206-207-208-209-210-211-212-213-214-215-216-217-218-219-220-221-222-223-224-225-226-227-228-229-230-231-232-233-234-235-236-237-238-239-240-241-242-243-244-245-246-247-248-249-250-251-252-253-254-255-256-257-258-259-260-261-262-263-264-265-266-267-268-269-270-271-272-273-274-275-276-277-278-279-280-281-282-283-284-285-286-287-288-289-290-291-292-293-294-295-296-297-298-299-300-301-302-303-304-305-306-307-308-309-310-311-312-313-314-315-316-317-318-319-320-321-322-323-324-325-326-327-328-329-330-331-332-333-334-335-336-337-338-339-340-341-342-343-344-345-346-347-348-349-350-351-352-353-354-355-356-357-358-359-360-361-362-363-364-365-366-367-368-369-370-371-372-373-374-375-376-377-378-379-380-381-382-383-384-385-386-387-388-389-390-391-392-393-394-395-396-397-398-399-400-401-402-403-404-405-406-407-408-409-410-411-412-413-414-415-416-417-418-419-420-421-422-423-424-425-426-427-428-429-430-431-432-433-434-435-436-437-438-439-440-441-442-443-444-445-446-447-448-449-450-451-452-453-454-455-456-457-458-459-460-461-462-463-464-465-466-467-468-469-470-471-472-473-474-475-476-477-478-479-480-481-482-483-484-485-486-487-488-489-490-491-492-493-494-495-496-497-498-499-500-501-502-503-504-505-506-507-508-509-510-511-512-513-514-515-516-517-518-519-520-521-522-523-524-525-526-527-528-529-530-531-532-533-534-535-536-537-538-539-540-541-542-543-544-545-546-547-548-549-550-551-552-553-554-555-556-557-558-559-560-561-562-563-564-565-566-567-568-569-570-571-572-573-574-575-576-577-578-579-580-581-582-583-584-585-586-587-588-589-590-591-592-593-594-595-596-597-598-599-600-601-602-603-604-605-606-607-608-609-610-611-612-613-614-615-616-617-618-619-620-621-622-623-624-625-626-627-628-629-630-631-632-633-634-635-636-637-638-639-640-641-642-643-644-645-646-647-648-649-650-651-652-653-654-655-656-657-658-659-660-661-662-663-664-665-666-667-668-669-670-671-672-673-674-675-676-677-678-679-680-681-682-683-684-685-686-687-688-689-690-691-692-693-694-695-696-697-698-699-700-701-702-703-704-705-706-707-708-709-710-711-712-713-714-715-716-717-718-719-720-721-722-723-724-725-726-727-728-729-730-731-732-733-734-735-736-737-738-739-740-741-742-743-744-745-746-747-748-749-750-751-752-753-754-755-756-757-758-759-760-761-762-763-764-765-766-767-768-769-770-771-772-773-774-775-776-777-778-779-780-781-782-783-784-785-786-787-788-789-790-791-792-793-794-795-796-797-798-799-800-801-802-803-804-805-806-807-808-809-810-811-812-813-814-815-816-817-818-819-820-821-822-823-824-825-826-827-828-829-830-831-832-833-834-835-836-837-838-839-840-841-842-843-844-845-846-847-848-849-850-851-852-853-854-855-856-857-858-859-860-861-862-863-864-865-866-867-868-869-870-871-872-873-874-875-876-877-878-879-880-881-882-883-884-885-886-887-888-889-890-891-892-893-894-895-896-897-898-899-900-901-902-903-904-905-906-907-908-909-910-911-912-913-914-915-916-917-918-919-920-921-922-923-924-925-926-927-928-929-930-931-932-933-934-935-936-937-938-939-940-941-942-943-944-945-946-947-948-949-950-951-952-953-954-955-956-957-958-959-960-961-962-963-964-965-966-967-968-969-970-971-972-973-974-975-976-977-978-979-980-981-982-983-984-985-986-987-988-989-990-991-992-993-994-995-996-997-998-999-1000

# PROJECTIONS MOLTENI

## NOTES

### SUR LA CLASSIFICATION MÉTHODIQUE DES SUJETS

ÉTABLIE PAR

**RADIGUET & MASSIOT**

Le grand nombre et la variété infinie des sujets qui composent nos collections et qui s'augmentent encore chaque jour nous avaient amenés à établir il y a trois ans un classement méthodique qui permette à chacun de trouver facilement les documents qui l'intéressent aujourd'hui.

Nous avons eu la satisfaction de recevoir l'approbation générale de Messieurs les professeurs, et c'est sous leurs encouragements et avec la sanction de l'expérience que nous avons entrepris le travail considérable qu'a nécessité le Catalogue complet que nous publions aujourd'hui.

Notre méthode n'est autre que celle employée pour les sciences, et qui, étant à la fois *historique* et *didactique*, range toutes les connaissances humaines dans un ordre hiérarchique facile à saisir, en partant des plus générales pour arriver à celles spéciales, ou des plus abstraites aux plus concrètes.

De cette manière tout le savoir humain se trouve divisé en six classes qui sont :

- (1) LES MATHÉMATIQUES : qui comprennent l'Arithmétique, la Géométrie et l'Algèbre.
- (2) L'ASTRONOMIE : qui embrasse l'étude de l'Univers sidéral, y compris celle de la Terre considérée comme planète.
- (3) LA PHYSIQUE : dont les lois sont soumises à celles plus générales des deux précédentes et comporte une longue série de sous-titres.
- (4) LA CHIMIE : plus spéciale encore que la physique et soumise aux mêmes lois qu'elle, tout en ayant d'autres lois qui lui sont particulières.
- (5) LA BIOLOGIE (1), ou, comme son nom l'indique, science qui s'occupe de tout ce qui vit, à proprement parler, tant animal que végétal, à la surface du globe.

Et enfin :

- (6) LA SOCIOLOGIE : science *sociale*, ou des *sociétés humaines*, qui comprend comme subdivision tout ce qui concerne les questions relatives à l'histoire de l'humanité, à son développement, à la manière dont elle évolue dans le temps, à ses croyances, à sa politique, à ses créations intellectuelles et artistiques, à sa morale ; en un mot, tout ce qui concerne l'espèce humaine considérée collectivement sous toutes ses formes et dans son fonctionnement général.

Si sommaire que soit cette explication, elle suffira, pensons-nous, pour servir de clé au lecteur qui jettera un coup d'œil sur la table des matières ci-contre, disposée selon cette méthode, la plus rationnelle en présence de la forme scientifique et pédagogique que suit actuellement l'enseignement. C'est pourquoi nous l'avons adoptée pour les projections lumineuses.

---

(1) Du grec *βίος*, vie.

## REMARQUES

Si la classification méthodique suivie par nous n'est pas familière à tous, il est aisé de parer à la difficulté par quelques remarques pratiques sur les diverses interprétations que l'on peut donner à certains sous-détails du classement.

Ainsi l'*Astronomie* comporte la *Géologie* et la *Géographie* (du grec *γη*, terre), car la *Terre* est une planète et à ce titre fait partie de l'étude des *Astres*.

A son tour, la *Géologie* (dont le nom est déjà ancien), ne comportait pas, au début, la *Paléontologie* ni la *Chimie*, qui pourtant aujourd'hui lui empruntent, l'une l'*Etude de l'homme préhistorique* et l'autre la *composition chimique des minéraux*. De là l'obligation de faire figurer *Paléontologie* à la fois à *Géologie* et à *Sociologie*, et *Minéralogie* à *Géologie* et à *Chimie minérale*.

Cette ubiquité, qui pourrait, de prime abord, sembler une complication, s'explique par l'obligation de conserver certains mots dont les progrès incessants de la Science étendent ou modifient chaque jour le sens primitif mais qui, consacrés par l'usage, ne pourraient pas impunément changer à fur et mesure du progrès scientifique. Par exemple, le mot *Electricité*, qui, comme on sait, vient du grec *Ελεκτρον*, *ambre*, a aujourd'hui un sens plus étendu, sans aucune proportion, que celui initial.

Au même titre, on trouvera à *Physique* et à *Chimie* à la fois, la plupart des applications de ces sciences à l'Industrie, car il y a fort peu d'industries qui n'empruntent leur *mécanisme*, outillage ou force motrice, à « *Physique* », tout en étant des industries *chimiques* par excellence, telles que toutes celles de l'alimentation : le *Gaz*, la *Verrerie*, etc., etc., prises au hasard comme exemples.

Loin d'être une complication, ces doubles emplois offrent l'avantage de permettre à celui qui consulte les Tables de se placer, soit au point de vue du physicien, soit à celui du chimiste, pour chercher ce qu'il désire.

Nous croyons inutile de multiplier les exemples pour être compris du lecteur et nous bornerons là ces remarques.

Toutefois, nos collections étant aussi composées de nombreuses vues de voyages et d'explorations, il nous a été impossible d'en faire un dépouillement complet qui nous eût permis de reporter chacune d'elles aux chapitres précités.

En effet, un voyage ou une exploration peut avoir été entrepris dans les huts les plus divers ; certains touristes constitueront uniquement leurs collections par des vues des monuments les plus remarquables et, dans ce cas, ces vues devront paraître dans le chapitre Beaux Arts, section Architecture. Les voyages de certains autres auront pour objectif l'étude des productions du pays traversé, mais ces productions seront de diverses natures, certaines seront relatives aux animaux et devront par conséquent rentrer dans la classe Biologie, au chapitre Zoologie ; certaines autres seront relatives au sol même, elles devront alors entrer dans la classe Astronomie, au chapitre Géologie...

Ces quelques exemples suffiront pour montrer que notre tâche eût été trop lourde et, de plus, nous eussions craint, pour certaines collections, de dénaturer l'ordre même dans lequel elles nous furent confiées par leurs auteurs.

C'est pourquoi nous avons classé nos vues et explorations, quelles qu'elles soient, tout à fait en dehors des 6 grandes classes. Ces vues font l'objet du Catalogue n° 104, classé dans l'ordre suivant :

## VOYAGES &amp; EXPLORATIONS

I<sup>re</sup> PARTIE

Vues de France par Départements classés suivant l'ordre alphabétique  
Colonies françaises

II<sup>e</sup> PARTIE

Vues d'Europe par nations classées suivant l'ordre alphabétique  
Afrique, Asie, Amérique, Océanie

Un grand nombre de vues destinées à l'enseignement des sciences ne sauraient être prises sur nature, c'est ainsi, par exemple, qu'il serait impossible de constituer des collections de certains animaux fort rares autrement qu'en les tirant de gravures.

C'est dans ce but, et pour que nos collections aient un caractère essentiellement scientifique et pédagogique, que nous avons puisé une grande partie de celles-ci dans les ouvrages les plus connus et des meilleurs auteurs.

Grâce aux conventions spéciales que nous avons passées avec les éditeurs les plus réputés, nous pouvons affirmer que les documents qui constituent le fond de nos collections sont absolument uniques. *MM. les Professeurs et Conférenciers ne pourront se les procurer que dans notre Maison.*

A titre d'exemple, nous citerons parmi les Editeurs avec lesquels nous nous sommes entendus : la librairie Masson, éditeur de tant d'ouvrages scientifiques, et en particulier du journal *La Nature*; la librairie Delagrave, universellement connue pour ses livres scolaires; les maisons Mame, Schleicher, Furne, Lahure, Société française d'éditions d'art, Quantin, Baillière, Paul Dupont, Flammarion, Rothschild, Naud, etc., etc.

Comme nous l'avons dit plus haut, la classification méthodique des vues scientifiques et littéraires, que nous avons adoptée, a été étudiée spécialement pour permettre à Messieurs les Professeurs et Conférenciers de choisir eux-mêmes les sujets nécessaires à leurs études spéciales. Mais, d'autre part, il nous a été souvent demandé, pour les Œuvres Post-Scolaires et pour les Conférenciers-Mondains, d'établir des séries comprenant de quinze à vingt vues avec lecture, permettant à chacun d'exposer, avec intérêt pour tous, le sujet choisi. Ces séries, au nombre de plus de deux cents, sont consignées dans un Catalogue spécial n° 68 classé suivant les mêmes principes que le présent Catalogue.

Enfin, nous possédons des collections nombreuses servant aux Récréations mondaines et enfantines, des vues mécanisées ainsi que des vues spéciales pour produire des effets de théâtre de toute nature, des tableaux et maquettes pour les représentations de pièces d'ombres artistiques, des bandes cinématographiques, mais, étant donné le caractère scientifique et pédagogique que nous avons voulu conserver à notre classement, nous n'y avons pas fait figurer ces dernières.

Il sera d'ailleurs très facile d'en trouver la nomenclature dans nos Catalogues spéciaux :

- Nos 41 et 47. *Vues Enfantines fixes ou mécanisées ;*  
 N° 94. *Danses Serpentine, Manteau magique, Caméléons, Danses de feu*  
 N° 109. *Bandes Cinématographiques de toutes longueurs.*

Le Catalogue général des Vues Scientifiques et Littéraires comprenant 4 Fascicules

I. *Astronomie.* — II. *Physique et Chimie.* — III. *Biologie.* — IV. *Sociologie*

est envoyé complet à toute personne accompagnant sa demande de 1 fr. 50 en timbres-poste.

Chaque fascicule peut être envoyé séparément en spécifiant la nature du fascicule ou son numéro contre 0 fr. 50 en timbres-poste.

# CLASSE II

## ASTRONOMIE

CHAPITRE A. — Physique céleste. — Cosmologie et Cours d'Astronomie.

CHAPITRE B. — Météorologie.

CHAPITRE C. — Géologie { SECTION 1. — Minéralogie.  
SECTION 2. — Paléontologie.

CHAPITRE D. — Géographie.

### CHAPITRE A

#### Physique céleste. — Cosmologie et Cours d'Astronomie.

Tableaux mécanisés pour l'enseignement et la vulgarisation de l'Astronomie.

*Collection de 10 tableaux à mouvement avec description pour chaque tableau  
cadre de 12 c/m de large. . . . Prix: 160 fr.*



- |                                                                                                                                                                                |                                                                                                                                               |
|--------------------------------------------------------------------------------------------------------------------------------------------------------------------------------|-----------------------------------------------------------------------------------------------------------------------------------------------|
| 1° Sphéricité de la terre.<br>2° Système planétaire.<br>3° Révolution annuelle de la terre.<br>4° Rotation diurne de la terre.<br>5° Révolution de la lune autour de la terre. | 6° Phénomène des marées.<br>7° Orbites de Mercure et de Vénus.<br>8° Marche d'une comète.<br>9° Éclipse de la lune.<br>10° Éclipse du soleil. |
|--------------------------------------------------------------------------------------------------------------------------------------------------------------------------------|-----------------------------------------------------------------------------------------------------------------------------------------------|

*Les tableaux de cette collection ne sont pas vendus séparément*

**Éclipse de soleil**, tableau à double mouvement, permettant de reproduire successivement les Éclipses partielles, annulaires ou totales avec apparitions des protubérances et de la couronne. . . . 25 fr.

#### ASTRONOMIE. — COLLECTION GÉNÉRALE

##### Planètes

- M 5785 Phase de Mercure, troncature de la corne australe.  
 M 5786 Dessin indiquant les différents passages de Mercure sur le Soleil pendant le XIX<sup>e</sup> siècle.  
 M 5787 Inclinaison probable de l'axe de rotation de Mercure, les saisons sur cette planète.  
 M 5788 Tableau frontispice pour Conférence sur l'Astronomie.  
 M 5789 Principales phases de Vénus.  
 M 5790 Les deux hémisphères de Vénus d'après les dessins de Bianchini.  
 M 5791 Planisphère géographique de Vénus  
 M 5792 Vénus, aspects divers

- M 15573 Dimension apparente de Vénus à ses distances extrême et moyenne de la terre.  
 M 15574 Aspect de Vénus à l'époque de sa conjonction inférieure, les 1<sup>er</sup> et 5 décembre 1890.  
 M 6812 Passage de Vénus sur le Soleil.  
 M 6813 Vénus et ses phases.  
 M 6814 Passage de Vénus observé en pleine mer par Le Gentil, en 1761.  
 M 5793 Mars observé le 20 avril 1856 à 9 h. 40 du soir, par M. Waren de la Rue.  
 M 5794 Mars observé le 20 avril 1856, à 11 h. 44 du soir, par M. Waren de la Rue.  
 M 5795 Aspects comparés de Mars et de la Terre.

- M 5796 Aspects comparés de Mars, le 29 juin 1873.  
 M 5797 Six aspects différents de Mars.  
 M 5798 Géographie de Mars.  
 M 5799 Planisphère de Mars.  
 M 5800 Jupiter, d'après M. Waren de la Rue.  
 M 5801 Grandeurs comparées de Jupiter et de la Terre.  
 M 5802 Aspect de Jupiter, nuit du 28 janvier 1873.  
 M 5803 Aspect de Jupiter le 30 mars 1874, à 8 h. 30 et à 9 h. 39 du soir.  
 M 5804 Position de Jupiter sur le plan de son orbite.  
 M 5805 Jupiter et ses quatre satellites.  
 M 5806 Jupiter, le 4 février 1874.  
 M 5807 Jupiter, le 24 février 1874.  
 M 15575 Photographie de Jupiter, le 23 mars 1886.  
 M 5808 Grandeurs comparées de la Terre, de la Lune, et des quatre satellites de Jupiter.  
 M 5809 Grandeurs comparées des planètes.  
 M 5810 Grandeurs comparées des différents mondes du système solaire.  
 M 5811 Grandeurs comparées de Saturne et de la Terre.  
 M 5812 Saturne observé en novembre 1852, par M. Waren de la Rue.  
 M 5813 Saturne observé le 27 mars 1856.  
 M 5814 Saturne, variation des anneaux.  
 M 5815 Saturne et ses satellites.  
 M 5816 Paysage saturnien à minuit, au clair d'anneau.  
 M 5817 Saturne sous trois aspects différents.  
 M 15576 Photographie de Saturne, 21 décembre 1885.  
 M 5818 Grandeur comparée d'Uranus et de la Terre.  
 M 5819 Le système d'Uranus.  
 Voir aussi *Mondes Planétaires* (astronomie populaire de Flammarion, page 6).

### La Lune

- M 5820 La Lune, 1<sup>er</sup> quartier, photographie directe.  
 M 5821 La Lune, pleine lune, photographie directe.  
 M 5822 La Lune, dernier quartier, photographie directe.  
 M 5823 Grandeurs comparées de la Terre et de la Lune.  
 M 5824 Mesure de la distance de la Lune.  
 M 5825 Phases de la Lune.  
 M 5826 Régions de la Lune des environs de Linné.  
 M 5827 Mont Copernic.  
 M 5828 Paysage lunaire.  
 M 5829 Etendue du globe lunaire que nous connaissons.  
 M 5830 Carte géographique de la Lune.  
 M 5831 Type de montagne lunaire.  
 M 5832 Les Apennins lunaires. Cratères d'Archimède, Autolyeus, Aristillus.  
 M 5833 Coupe géologique d'un volcan lunaire dans la période maximum.  
 M 5834 Coupe géologique d'un volcan lunaire à sa dernière période.  
 M 5835 Cirque lunaire enseveli sous les rives de l'océan des tempêtes.  
 M 5836 Paysage lunaire dans les montagnes.  
 M 5837 Les cratères de Ténériffe (ressemblance avec les cratères lunaires).  
 M 5838 Quatre cratères lunaires, d'après l'empel, Rheindol, Copernic, Gay Lussac et Phytas.  
 M 5839 Cirques avoisinant la mer du Nectar.  
 M 5840 Chaîne de Copernic à Rheindol.

- M 5841 Triemckner, cratère lunaire.  
 M 5842 Wargentini.  
 M 5843 Aristote et Eudoxus, cratères lunaires.  
 M 5844 Arzachael, Ptolémée, cratères lunaires.  
 M 5845 Aristarque et Hérodote, cratères lunaires.  
 M 5846 Mercator et Campanus.  
 M 5847 Théophile et Cyrillus.  
 M 5848 Copernic.  
 M 5849 Tycho et cratères environnants.  
 M 5850 Les Apennins lunaires et Archimède.  
 M 5851 Platon et vallée des Alpes.  
 M 5852 Groupes de cratères près de Tycho.  
 M 5853 Montagne lunaire isolée.  
 M 5854 Type normal de volcan lunaire.  
 M 5855 Cratère du Vésuve en 1864.  
 M 5856 Groupe idéal de montagnes lunaires.  
 M 5857 Le Vésuve et la région volcanique des environs de Naples.  
 M 5858 Carte de la Lune.  
 M 15582 Mare Crisium.  
 M 15583 Archimèdes.  
 M 15584 Cassini Theaetetus.  
 M 15585 Rhiphaeus Euclides.  
 M 15586 Diophantus, Delisle.  
 M 15587 Gassendi.  
 M 15588 Cichus, Capuanus, Mercator, Campanus.  
 M 15589 Hipparchus Abbategnius.  
 M 15590 Clavius.  
 M 15591 Theophilus, Cirillus.  
 M 15592 Aristarchus, Montis Harbinger.  
 M 15593 Ptolémæus.

Voir aussi *Astronomie Populaire*, de Flammarion, n° M 6080 à M 6112, page 5, et *Revue d'Astronomie Populaire*, de Flammarion, n° M 6519 à M 6544, page 8.

### Le Soleil

- M 5859 Le Soleil vu des différentes planètes.  
 M 5860 Le Soleil vu de la Terre et de Neptune.  
 M 5861 Taches observées par Nasmyth, 5 juin 1864.  
 M 5862 Segmentation d'une tache solaire par M. Flammarion.  
 M 5863 Dimensions comparées du Soleil et de la Terre.  
 M 5864 Changements apparents dans la forme d'une tache solaire.  
 M 5865 Dimensions comparées du disque solaire et de l'orbite de la Lune.  
 M 5866 La surface solaire, vingt-quatre protubérances, par le R. P. Secchi.  
 M 5870 Trois protubérances observées le 3 septembre, les 19 et 22 décembre 1871.  
 M 5872 Protubérance observée le 24 juin 1873.  
 M 5873 Tache solaire observée le 21 juillet 1873.  
 M 5874 Tache solaire observée le 25 août 1878.  
 M 5875 Tache solaire observée le 26 août 1873.  
 M 5876 Ensemble de taches et de protubérances solaires.  
 M 5877 Huit protubérances solaires observées le 21 avril 1873.  
 M 5878 Taches et facules solaires.  
 M 5879 Facule solaire.  
 M 5880 Tache solaire observée le 16 juillet 1866 d'après le R. P. Secchi.  
 M 5881 Tache solaire, avec voile, le 16 juillet 1866, d'après le R. P. Secchi.  
 M 5882 Granulation de la surface solaire, d'après le R. P. Secchi.  
 M 5883 Granulation feuilles de saule, d'après M. Nasmyth.

- M 5884 Tache solaire, forme circulaire, d'après le R. P. Secchi.  
 M 5885 Tache solaire, multiple avec pont, d'après le R. P. Secchi.  
 M 5886 Division d'une tache solaire d'après le R. P. Secchi.  
 M 5890 La surface solaire photographiée directement.  
 M 5891 Grosses comparées du Soleil, de la Terre et des planètes.  
 M 5892 Surface solaire, image d'une même région photographiée à 50 minutes d'intervalle.  
 M 5895 Protubérance solaire observée par Respighi.  
 M 5896 Protubérance solaire observée par Young.  
 M 5897 Protubérance solaire observée par Zollner.  
 M 5898 Tache solaire observée par le R. P. Secchi.  
 M 5899 La même vue le lendemain.  
 M 5900 Taches solaires d'après un dessin de Nasmyth.  
 M 5901 Le Soleil avec ses taches et ses protubérances.  
 M 15577 Cliché du Soleil, Observatoire de Meudon.  
 M 15578 Cliché du Soleil, Observatoire de Meudon.  
 M 15579 Cliché du Soleil, Observatoire de Meudon.  
 M 15610 Spectre de la lumière de Cyrius comparé au spectre solaire.  
 M 15611 Figures comparatives aux différents spectres.  
 M 15612 Coïncidence des lignes du fer avec le spectre solaire.  
 M 5896 Spectre solaire en couleur, 10 francs.  
 M 5867 Spectres comparés du Soleil, de Sirius, du sodium, du strontium et du rubidium *(en couleurs 18 francs)*.  
 M 5868 Spectres comparés de l'oxygène, de l'hydrogène, de l'azote, du carbone, de l'iode, du pôle positif et du pôle négatif *(en couleur 20 francs)*.  
 M 5871 Trois spectres d'étoiles (Orion, Antares; Sirius, Vêga; Hercule, Pégase), *(en couleur 16 francs)*.  
 M 5887 Spectre en noir des différents métaux.  
 M 5888 Spectre d'une tache solaire.  
 M 5889 Tache ayant donné le spectre ci-dessus.  
 M 5893 Sept spectres comparés, spectre continu, sodium, lithium, calcium, rubidium, oxygène, hydrogène *(en couleur 20 francs)*.  
 M 5894 Sept spectres comparés azote, 2 spectres d'absorption, Soleil,  $\alpha$  de la Lyre,  $\beta$  de Pégase,  $\alpha$  d'Orion *(en couleur 20 francs)*.

Voir aussi :

*Astronomie Populaire*, de Flammarion, page 6.  
*Revue d'Astronomie Populaire*, de Flammarion, page 8.

### Eclipses et Passages

- M 5902 Eclipsé de Soleil, août 1868.  
 M 5903 Eclipsé de Soleil, 18 juillet 1860.  
 M 5904 Eclipsé de Lune (théorie des éclipses).  
 M 5905 Carte du passage de Vénus en 1874.  
 M 5906 Phénomène de la Goutte Noire.  
 M 5907 Passage de Vénus, observé en pleine mer, par L. Gentil, en 1761.  
 M 5908 Passage de Vénus, photographie prise à l'île Saint-Paul, 9 décembre 1874, un peu avant le 3<sup>e</sup> contact.  
 M 5909 Eclipsé de Soleil de 1860, aspect de la Couronne d'après le R. P. Secchi.

- M 5910 Eclipsé de Soleil, aspect de la Couronne d'après M. Liais.  
 M 5911 Eclipsé de Soleil artificielle, aspect de la Couronne, d'après M. Tacchini.  
 M 5912 Eclipsé de Soleil artificielle, aspect de la Couronne, d'après M. Relisa.  
 M 5913 Eclipsé totale du 18 juillet 1860, observée à Batna.  
 M 5914 Eclipsé de Soleil totale, 22 décembre 1870.  
 M 5915 Eclipsé de Soleil totale, 7 août 1869.  
 M 15580 Eclipsé de Soleil observée à Cayenne. Voir aussi : *Revue d'Astronomie Populaire*, de Flammarion, Page 11.

### Etoiles

- M 5916 Le Zodiaque.  
 M 5917 Sphère céleste et le mouvement diurne.  
 M 5918 Les pléiades.  
 M 5919 Etoile septuple d'Orion.  
 M 5920 Un Coin du Ciel vu à l'œil nu et dans l'équatorial, de 27 centimètres.  
 M 5921 Etoiles multiples, colorées.  
 M 5922 Déformation en 100.000 ans des étoiles de la Grande-Ourse.  
 M 5923 Six étoiles multiples.  
 M 5924 Six étoiles doubles.  
 M 5925 Les pléiades vues à l'œil nu et au télescope.  
 M 5926 Les hyades, constellation du Taureau, amas du Cancer.  
 M 5927 Carte astronomique des constellations chrétiennes de Schiller, hémisphère Nord.  
 M 5928 Carte de Schiller, hémisphère Sud.  
 M 5929 Carte des étoiles visibles en France.  
 M 5930 Carte des étoiles visibles dans les deux hémisphères.  
 M 5931 Constellation de la Grande-Ourse, relief du Journal *le Ciel*.  
 M 5932 Constellation du Dragon, relief du Journal *le Ciel*.  
 M 5933 Carte de 324.198 étoiles, hémisphère Nord.  
 M 5934 Carte des principales Constellations, hémisphère Nord.  
 Voir aussi *Astronomie Populaire*, de Flammarion, Page 7.

### Nébuleuses, Amas d'Etoiles, Bolides

- M 5935 Nébuleuses diverses et amas d'étoiles.  
 M 5936 Nébuleuses lypes.  
 M 5937 Voie lactée, partie Nord et partie Sud.  
 M 5938 Chute d'un bolide à Quemgouck (Indes).  
 M 5939 Nébuleuse entourant  $\alpha$  d'Argus.  
 M 5940 Météorite tombée à Emmet (Etats-Unis), 10 mai 1879, pesant 218 k. 500.  
 M 5941 Météorite tombée à Emmet, vue de face.  
 M 5942 Météorite tombée à Emmet vue de profil.  
 M 5943 Nébuleuse en anneau de la Lyre.  
 M 5944 Nébuleuse dumb bell, n° 4532 d'Herschell.  
 M 5945 Triplette nébuleuse n° 435 d'Herschell.  
 M 5946 Amas stellaire d'Hercule.  
 M 5947 Partie centrale de la nébuleuse d'Orion.  
 M 5948 Amas stellaire d'Oméga du Centaure.  
 M 5949 Nébuleuse du Lion annulaire elliptique.  
 M 5950 Nébuleuse du Taureau.  
 M 5951 Nébuleuse d'Orion.  
 M 5952 Nébuleuses doubles et multiples.  
 M 5953 Nébuleuse du Renard (dumb. bell)  
 M 5954 Nébuleuse d'Andromède.

- M 5955 Nébuleuse de la Dorade.  
M 5956 Nébuleuse de la Vierge-du-chien-de-chasse, auras du Toucan.

### Comètes

- M 5957 Orbite de la Comète de Halley.  
M 5958 Comète de 1528, d'après Ambroise Paré.  
M 5959 Orbites entrelacées de six comètes.  
M 5960 Comète à six queues de 1744, d'après un dessin de l'époque.  
M 5961 Comète à six queues de 1811, d'après un dessin de l'époque.  
M 5962 Comète de Donati, observée en septembre et octobre 1857, par M. Warren de la Rue.  
M 5963 Comète de Donati, observée les 5, 8 et 9 octobre 1858 par M. Warren de la Rue.  
M 5964 Grande Comète de 1861, observée par M. Warren de la Rue.  
M 5965 Comètes dessinées par M. Chacornac.  
M 5966 Comètes de Halley, 1835.  
M 5967 Comètes de M. Henry, août et septembre 1873.  
M 5968 Comètes de 1843.  
M 5969 Comètes de 1811, explication théorique.  
M 5970 Comètes de 1828.  
M 5971 Grande Comète de 1858, d'après M. Bond.  
M 5972 Tête de la Comète de 1858, d'après M. Bond.  
M 5973 Tête de la Comète de 1861, d'après le R. P. Secchi.  
M 5974 La Comète de Coggia, observée le 6 juillet 1874 à 11 heures du soir.  
M 5975 La Comète B. Paris, 1881.  
M 5976 Comète de Guillaume le Conquérant d'après la tapisserie de Bayeux.  
M 5977 Comète B. 1881 d'après B. Newall.  
M 5978 Comète de Donati, observée en 1858, à Harvard collège, U S A.  
M 15581 Grande Comète de 1882.

Voir aussi *Astronomie Populaire*, de Flammarion. Page 7.

### Tableaux divers

- M 5979 Direction du système solaire parmi les étoiles de la voie lactée.  
M 5980 Détermination de la vitesse de la lumière par les éclipses des satellites de Jupiter.  
M 5981 Système de Ptolémée.  
M 5982 Système de Tycho-Brahé.  
M 5983 Système de Copernic.  
M 5984 Système planétaire complété.  
M 5985 Les six principaux aérolithes connus.  
M 16882 Coupe idéale de la terre (d'après le P. Kircher) montrant le feu central A et la circulation intérieure des eaux.  
M 16826 Portrait de Tycho-Brahé.  
M 16827 Spécimen d'un autographe de Tycho-Brahé.  
M 16828 Observatoire de Tycho-Brahé dans l'île de Huen.  
M 16905 Un chercheur de la quadrature du cercle au xiv<sup>e</sup> siècle.

### Observatoires et Instruments

- M 6004 Observatoire de Paris, côté Nord.  
M 6005 " " côté Sud.  
M 5990 " " salle des lunettes méridiennes.  
M 16643 Régulateur de l'Observatoire de Paris, le centre horaire.

- M 6012 Observatoire de Paris, lunette méridienne de M. Bischoffsheim.  
M 15595 " " lunette méridienne.  
M 6013 " " lunette méridienne de Gambey.  
M 6014 " " lunette méridienne de 24 centimètres.  
M 6015 " " lunette équatoriale.  
M 5992 " " lunette équatoriale.  
M 6016 " " cercle mural.  
M 6017 " " le nouveau cercle méridien pendant l'observation.  
M 6020 " " grand équatorial coudé.  
M 5997 " " fonte du miroir du grand télescope.  
M 5995 " " polissage du miroir du grand télescope.  
M 5996 " " le grand télescope.  
M 5991 " " télescope Foucault.  
M 6011 " " le grand télescope Foucault.  
M 6026 " " appareil parallaxique pour la photographie céleste.  
M 6035 Appareil de mesure de MM. Henry pour l'étude des photographies célestes.  
M 6015 Observatoire de Paris, partie oculaire du grand équatorial coudé.  
M 6046 " " grand équatorial coudé partie extérieure.  
M 6017 Grand sidérostal de 1900. Partie oculaire mobile.  
M 6048 Grand sidérostal de 1900. Vue de face de la partie oculaire.  
M 6049 Grand sidérostal de 1900. Disposition des objectifs.  
M 6050 Grand sidérostal de 1900. Machine à travailler mécaniquement les surfaces optiques.  
M 6051 Grand sidérostal de 1900. Élévation, ensemble.  
M 6052 Grand sidérostal de 1900. Détails et vues d'ensemble.  
M 6029 Observatoire météorologique de Limoges.  
M 6030 Nouvel observatoire de Nice.  
M 6042 Observatoire de Nice, grand équatorial de 0 m. 76 d'ouverture.  
M 6043 Observatoire de Besançon, lunette méridienne de 0 m. 20 d'ouverture et de 2 m. 30 de foyer.  
M 6044 Observatoire de Besançon, Altazimut de 0 m. 11 d'ouverture et de 1 mètre de foyer.  
M 15596 Observatoire de Vellyz.  
M 15597 Observatoire du Pic du Midi.  
M 5993 Nouvel Observatoire du Pic du Midi.  
M 15598 Observatoire du Mont Dore.  
M 6006 Observatoire particulier.  
M 5994 Petite lunette équatoriale d'un observatoire particulier.  
M 6021 " " Vue extérieure de l'observatoire.  
M 6022 " " Grand équatorial avec lunette 0 m. 33, chercheur de 0 m. 13.  
M 6023 " " Observatoire cométaire.  
M 6024 " " Petite coupole avec un équatorial de 0 m. 16.  
M 6025 " " Instrument de passage.  
M 6018 Observatoire de Tycho-Brahé.  
M 5993 Observatoire de Melbourne, le grand télescope.  
M 15594 Spectrographe de l'Observatoire de Postdam.  
M 15599 Observatoire de Bruxelles, plan.  
M 15600 Observatoire de Bruxelles, élévation.



- M 15601 Observatoire du Vésuve.  
 M 6007 Observatoire de Greenwich (Angle-terre).  
 M 6008 Observatoire de Berlin.  
 M 6009 Observatoire de Delhi.  
 M 6010 Observatoire de Bénar/s.  
 M 6031 Coupole du sud (Observatoire de Vienne).  
 M 6032 Réfracteur de 14 pouces.  
 M 6033 Équatorial de 26 pouces construit par Clarke.  
 M 6034 Réfracteur de M. Newall : diamètre, 25 pouces, foyer, 30 pieds.  
 M 5998 Lunette de M. Newall.  
 M 6001 Observatoire de Pékin, équatorial construit sous le règne de Kúblay-Kang, vers 1230.  
 M 6002 Observatoire de Pékin, globe céleste en bronze, construit sous la direction des missionnaires français vers 1680.  
 M 6003 Observatoire de Pékin, sphère armillaire construite sous le règne de Kúblay-Kang.  
 M 6037 } Sphère armillaire du xvi<sup>e</sup> siècle.  
 M 6038 } Quart de cercle envoyé par Louis XIV.  
 M 6039 } Globe en bronze de 2 m, 10 de diamètre.  
 M 6040 } Instrument en bronze du xvi<sup>e</sup> siècle.  
 M 6041 } Ensemble des instruments.  
 M 5999 Équatorial de l'observatoire de Washington, ouverture 67 centimètres.  
 M 6036 Smithsonian Institution à Washington.  
 M 6000 Le grand télescope de M. Lassell dans l'île de Malte.  
 M 6027 Observatoire du mont Hamilton (Californie).  
 M 6028 Observatoire du mont Hamilton, salle du grand cercle méridien.  
 M 15602 Observatoire de Lick, rue du San Isabel près du mont Hamilton.  
 M 15603 Vue du mont Hamilton.  
 M 15604 " "  
 M 15605 Observatoire de Lick, hiver 1890.  
 M 15606 Télescope de 36 pouces.  
 M 15607 Lunette de 36 pouces.  
 M 15608 Spectroscope stellaire.  
 M 15609 Lunette de 36 pouces.  
 M 5986 Clepsydre de Ctésibus.  
 M 5987 Clepsydre à barillet mobile.  
 M 5988 Télescope de lord Ross.  
 M 5989 Télescope d'Herschell.  
 M 6019 Lustre de Galilée à Pise.  
 M 16816 Le télescope de Galilée, exposé à South Kensington à Londres.  
 Voir aussi *Revue d'Astronomie Populaire de Flammarion*, Page 11.
- M 6063 Cercle méridien de l'Observatoire de Paris.  
 M 6064 Un équatorial de l'Observatoire de Paris.  
 M 6065 Image du déplacement de l'axe de la Terre par la précession des équinoxes.  
 M 6066 Déplacement séculaire du pôle.  
 M 6067 Principales étoiles et constellations du Zodiaque.  
 M 6068 Inclinaison de l'axe du Globe.  
 M 6069 Région du Ciel vers laquelle nous voyons.  
 M 6070 Chute en spirale de la Terre et du Soleil dans l'espace.  
 M 6071 Tout autour du globe la pesanteur est dirigée vers le Centre.  
 M 6072 Grandeurs comparées du Soleil et de la Terre.  
 M 6073 Pendule de Foucault, rotation de la Terre.  
 M 6074 Réfraction, élévation dans les positions des astres.  
 M 6075 Coucher de Soleil au bord de la mer.  
 M 6076 Trois nébuleuses de monde en formation.  
 M 6077 Théorie de la formation des mondes. La naissance de la Terre.  
 M 6078 Le monde antédiluvien.  
 M 6079 La dernière famille humaine.

### La Lune

### ASTRONOMIE POPULAIRE DE M. CAMILLE FLAMMARION

#### La Terre

- M 6053 La Terre dans l'espace.  
 M 6054 Le jour et la nuit.  
 M 6055 Image du globe terrestre tournant autour de son axe.  
 M 6056 Les heures du jour et de la nuit.  
 M 6057 Différence entre la durée du jour et la durée de la rotation de la terre.  
 M 6058 Paysage des régions polaires.  
 M 6059 Paysage des régions tropicales.  
 M 6060 Mouvement annuel de la Terre autour du Soleil et production des Saisons.  
 M 6061 Division de la Terre en cinq zones.  
 M 6062 Étoiles qui environnent le pôle Nord et qui ne se couchent jamais pour la France.  
 M 6080 Grandeurs comparées de la Terre et de la Lune.  
 M 6081 Différence entre la durée du mouvement de la Lune autour de la Terre et la durée de la lunaison.  
 M 6082 La lumière condrée de la Lune.  
 M 6083 Les phases de la Lune.  
 M 6084 Origine astrologique des jours de la semaine.  
 M 6085 Mouvement de la Lune combiné avec celui de la Terre.  
 M 6086 Tour de la pesanteur.  
 M 6087 Section de la Lune, vue dans une petite lunette.  
 M 6088 Carte géographique de la Lune.  
 M 6089 Topographie lunaire, Mer de la Sérénité.  
 M 6090 La montagne lunaire de Copernic, Type des Grands Cratères.  
 M 6091 Les Appennins lunaires, les rainures et les trois cratères d'Archimède, d'Aristillus et d'Autolyceus.  
 M 6092 Topographie d'un district volcanique lunaire comparée à celle d'un district volcanique terrestre (Naples).  
 M 6093 Cratère éteint en Islande.  
 M 6094 Volcans éteints de l'Auvergne.  
 M 6095 Occultation de Vénus par la Lune, le 14 octobre 1874.  
 M 6096 Occultation de Jupiter par la Lune, le 2 juillet 1857.  
 M 6097 Cirques lunaires obliquement éclairés au lever du Soleil.  
 M 6098 Grande lunette du xvi<sup>e</sup> siècle, d'après Bianchini.  
 M 6099 Le grand télescope de lord Ross.  
 M 6100 Topographie lunaire. La mer des Crises éclairée de face à la pleine Lune.  
 M 6101 Topographie lunaire. La mer des Crises éclairée obliquement après la nouvelle Lune.  
 M 6102 Topographie lunaire des environs de la rainure d'Hyginus.  
 M 6103 Le double cratère Messier.  
 M 6104 Panorama lunaire dans les montagnes.

- M 6105 L'arène du cirque lunaire de Platon.  
 M 6106 La pleine terre, vue de la Lune.  
 M 6107 Explication des marées.  
 M 6108 Marche successive de la marée pour les différents ports.  
 M 6109 Le mascaret à Caudebec.  
 M 6110 Théorie des éclipses.  
 M 6111 Théorie des éclipses de la Lune.  
 M 6112 Eclipses du 3 septembre 1876.

### Le Soleil

- M 6113 Tracé d'une éclipse de Soleil et de sa grandeur pour les différents pays.  
 M 6114 Théorie des éclipses du Soleil.  
 M 6115 L'éclipse totale de Soleil du 22 décembre 1870, observée en Sicile.  
 M 6116 Eclipses annulaires de Soleil le 19 juillet 1879.  
 M 6117 Eclipses de Soleil du 22 décembre 1870, phase de Paris.  
 M 6118 L'éclipse du Soleil du 10 octobre 1874, phase de Paris.  
 M 6119 Eclipses totales de Soleil du 29 juillet 1878, observées sur les Montagnes Rocheuses (Etats-Unis).  
 M 6120 Phase des éclipses totales, 1887-1893-1896-1900.  
 M 6121 Orbites de la Terre et de la Lune.  
 M 6122 Grandeur du Soleil. Aspect granulé de sa surface.  
 M 6123 Le système planétaire.  
 M 6124 Explication des mouvements des planètes. Loi des aires.  
 M 6125 Décroissement de l'intensité en raison du carré de la distance.  
 M 6126 Harmonie des ondulations.  
 M 6127 Harmonie des vibrations.  
 M 6128 Géométrie de la musique.  
 M 6129 La géométrie dans les flocons de neige.  
 M 6130 Orbite de Vénus et de la Terre autour du Soleil.  
 M 6131 Carte du passage de Vénus, le 8 décembre 1874.  
 M 6132 Carte du passage de Vénus, le 6 décembre 1882.  
 M 6133 La surface du Soleil, vue au télescope, à l'aide d'un fort grossissement.  
 M 6134 Types des taches solaires.  
 M 6135 Effet de l'irradiation.  
 M 6136 Rotation du Soleil emportant deux taches.  
 M 6137 Type d'une tache solaire régulière.  
 M 6138 Segmentation d'une tache solaire.  
 M 6139 Tache solaire avec ponts.  
 M 6140 Tache solaire. Fillet lumineux s'écoulant vers le Centre.  
 M 6141 Tache arrivant au bord du Soleil.  
 M 6142 Protubérances observées autour du Soleil pendant l'éclipse de 1860. Première moitié.  
 M 6143 Dernière phase de l'éclipse de 1860. Protubérances orientales.  
 M 6144 Protubérances de l'éclipse de 1868.  
 M 6145 Ensemble des protubérances solaires, juillet 1871.  
 M 6146 Une explosion dans le Soleil.  
 M 6147 Différentes formes de protubérances.  
 M 6148 Différentes formes de protubérances.  
 M 6149 Une explosion solaire, première phase.  
 M 6150 Une explosion solaire, plus grande phase.  
 M 6151 Fin de l'explosion.  
 M 6152 Légèreté des formes protubérantielles.  
 M 6153 Forme curieuse d'une éruption solaire.  
 M 6154 Flamme solaire s'élevant jusqu'au quart du diamètre solaire (avril 1873).

- M 6155 Couronne et aigrettes de l'éclipse de 1860.  
 M 6156 Deux protubérances solaires observées à Harward-College (Etats-Unis).  
 M 6157 Couronne et aigrettes de l'éclipse de 1868.  
 M 6158 Oscillations dans la variation décennale.  
 M 6159 Comparaison de la variation du nombre des taches solaires avec celle de la distance de Jupiter au Soleil.  
 M 6160 Oscillation diurne de l'aiguille aimantée.  
 M 6161 Correspondance entre le nombre des taches solaires et la variation magnétique.  
 M 6162 Carte magnétique de la France.  
 M 6163 L'aurore boréale.  
 M 6164 Variation annuelle des aurores boréales, de l'aiguille aimantée et des taches solaires.  
 M 6165 Fac-similé d'une gravure de l'année 1635 représentant le Soleil.  
 M 6166 La lumière zodiacale observée au Japon.  
 M 6167 Constitution physique de la surface solaire.  
 M 6168 Un coin du Ciel 4.604 étoiles.  
 M 6169 La constellation du Centaure dans l'hémisphère central.  
 M 6170 Système du Soleil double alpha du Centaure.  
 M 6171 Aérolithe tombé à Caill (Var) pesant 615 kilogrammes.  
 M 6172 L'éclipse d'un satellite de Jupiter.  
 M 6173 Intensité relative de la chaleur de la lumière et de l'action chimique dans les rayons qui nous viennent du Soleil.  
 M 6174 Les principales lignes du spectre solaire.  
 M 6175 Un spectroscopie.  
 M 6176 Figure comparative de différents spectres.  
 M 6177 Coïncidence des lignes du fer avec celles du spectre solaire.

### Les Mondes Planétaires

- M 6178 Le système de Ptolémée.  
 M 6179 Mouvement de la planète Mars du 15 juillet 1879 au 15 mai 1880.  
 M 6180 Position et marche de Jupiter en 1879.  
 M 6181 Position et marche de Saturne en 1879.  
 M 6182 Position et marche d'Uranus en 1879.  
 M 6183 Position et marche de Neptune en 1879.  
 M 6184 Marche dans le ciel et rencontre des différentes planètes en 1881.  
 M 6185 Mouvement de Saturne par rapport à la Terre.  
 M 6186 Mouvement de Jupiter par rapport à la Terre.  
 M 6187 Mouvement de Mars par rapport à la Terre.  
 M 6188 Mouvement de Vénus par rapport à la Terre.  
 M 6189 Mouvement de Mercure par rapport à la Terre.  
 M 6190 Le système de Copernic. Fac-similé du dessin publié dans l'ouvrage même de Copernic (1543).  
 M 6191 Orbite de Mercure autour du Soleil.  
 M 6192 Aspect de Mercure le 4 avril 1879.  
 M 6193 Le Soleil vu de Mercure.  
 M 6194 Grandeurs comparées de la Terre et de Mercure.  
 M 6195 Vénus le 16 août 1879.  
 M 6196 Ordre des phases de Vénus.  
 M 6197 Grandeurs comparées des quatre phases principales de Vénus.

- M 6198 Inclinaison comparée de l'axe de la Terre et de l'axe de Vénus.  
 M 6199 Illumination de l'atmosphère de Vénus.  
 M 6200 Aspect géographique rudimentaire de la planète Vénus.  
 M 6201 Orbites de Mars et de la Terre autour du Soleil.  
 M 6202 Grandeurs comparées de la Terre, Mars, Mercure et la Lune.  
 M 6203 Aspect télescopique de Mars, les 30 juillet, 22 août, 14 septembre et 26 octobre 1877.  
 M 6204 Mappemonde géographique de la planète Mars.  
 M 6205 Aspect télescopique de la planète Mars en 1877.  
 M 6206 Le système de Mars.  
 M 6207 La lunette colossale de l'Observatoire de Washington.  
 M 6208 Orbites de quelques petites planètes.  
 M 6209 Grandeurs comparées de Jupiter et de la Terre.  
 M 6210 Inclinaison comparée de l'axe de la Terre et de l'axe de Jupiter.  
 M 6211 Aspect général de Jupiter.  
 M 6212 Changements observés dans Jupiter. Variations annuelles.  
 M 6213 Changements observés dans Jupiter. Variations quotidiennes.  
 M 6214 Aspect de Jupiter le 8 janvier 1873.  
 M 6215 Jupiter et ses satellites dans le champ d'une lunette.  
 M 6216 Le système de Jupiter.  
 M 6217 Grandeurs comparées de Mars, Ganymède, Mercure et la Lune.  
 M 6218 Passage d'un satellite sur Jupiter et ombre qu'il produit.  
 M 6219 Disparition des satellites de Jupiter.  
 M 6220 Anciennes observations de Saturne, 1860. (Riccioli) 1675 (anneau doublé par Cassini).  
 M 6221 Perspective variable des anneaux de Saturne vus de la Terre.  
 M 6222 Changement d'aspect des anneaux de Saturne.  
 M 6223 Les anneaux de Saturne vus de face.  
 M 6224 Aspect télescopique de Saturne en 1874.  
 M 6225 Rapprochement probable des anneaux de Saturne depuis leur découverte.  
 M 6226 Les anneaux vus de Saturne.  
 M 6227 Le système de Saturne.  
 M 6228 Le système d'Uranus.  
 M 6229 Grandeur comparée du Soleil vu des différentes planètes.  
 M 6230 Dérangement d'Uranus par Neptune.  
 M 6231 Grandeurs comparées de Neptune, d'Uranus et de la Terre.

### Les Comètes et les Etoiles filantes

- M 6232 Ce qu'on croyait voir dans la comète de 1528.  
 M 6233 Ce qu'on croyait voir au ciel au xvi<sup>e</sup> siècle.  
 M 6234 L'arche de Noé, d'après un dessin du xii<sup>e</sup> siècle.  
 M 6235 La grande comète de 1841.  
 M 6236 Orbite de la comète de Halley.  
 M 6237 La comète de 1853.  
 M 6238 Forme des orbites cométaires.  
 M 6239 Orbites des dix comètes périodiques dont le retour a été observé.  
 M 6240 Dédoublément de la comète de Biéla en 1846.  
 M 6241 Passage de la comète de 1813 tout près du Soleil.  
 M 6242 La grande comète de 1843.  
 M 6243 La comète de 1858 vue du haut de la terrasse de l'Observatoire.  
 M 6244 Orbites de quelques comètes.

- M 6245 Les queues cométaires sont toujours opposées au Soleil.  
 M 6246 Marche de la comète de 1858 (Donati) du 12 septembre au 14 octobre.  
 M 6247 Transformations observées dans la tête de la comète de 1861.  
 M 6248 Transformations observées dans la tête de la comète de 1861.  
 M 6249 Longueur comparée des queues cométaires.  
 M 6250 Passage de la Terre dans la queue de la comète de 1861.  
 M 6251 La comète de 1819 passant devant le Soleil.  
 M 6252 L'analyse spectrale des comètes.  
 M 6253 La comète 1874 III (Coggia), le 6 juillet 1874.  
 M 6254 Spectre de la comète Coggia.  
 M 6255 La comète de 1873 IV (Henry) et son spectre.  
 M 6256 Point d'émanation des étoiles filantes du 27 novembre 1872.  
 M 6257 La grande pluie d'étoiles filantes du 27 novembre 1872.  
 M 6258 Orbites des étoiles filantes de la nuit du 10 au 11 août.  
 M 6259 Orbites des étoiles filantes de la nuit du 13 au 14 novembre.  
 M 6260 Aérolithe tombé à Orgueil (Tarn-et-Garonne) le 14 mai 1864.  
 M 6261 Pierre tombant du Ciel. (Dessin du xvi<sup>e</sup> siècle.)  
 M 6262 Couches superposées visibles dans un aérolithe de Sainte-Catherine.

### Les Etoiles

- M 6264 Les constellations.  
 M 6265 Etoiles principales qui environnent le pôle Nord.  
 M 6266 Principales étoiles ou constellations du Zodiaque.  
 M 6267 Ancien Zodiaque égyptien.  
 M 6268 Ancien Zodiaque arabe.  
 M 6269 Ancien Zodiaque indien.  
 M 6270 Zodiaque chinois frappé sur un talisman.  
 M 6271 Médaille chinoise portant la Grande-Ourse.  
 M 6272 Planisphère céleste, hémisphère austral.  
 M 6273 Planisphère céleste, hémisphère boréal.  
 M 6274 Essai de substitution des constellations chrétiennes aux constellations païennes imaginé au xvi<sup>e</sup> siècle; hémisphère Nord.  
 M 6276 Essai de substitution des constellations chrétiennes, hémisphère Sud.  
 M 6277 Cercle méridien de l'Observatoire de Paris.  
 M 6278 Le grand équatorial et la grande coupole de l'Observatoire de Paris.  
 M 6279 Machine à diviser les instruments astronomiques.  
 M 6280 L'Observatoire de Paris, côté du Nord.  
 M 6281 L'Observatoire de Paris, côté du Sud.  
 M 6282 Lunette méridienne et cercle mural de l'Observatoire de Paris.  
 M 6283 Etoiles visibles à l'œil nu pour une vue moyenne, hémisphère austral.  
 M 6284 Etoiles visibles à l'œil nu pour une vue moyenne, hémisphère boréal.  
 M 6285 Un point du ciel vu à l'œil nu et au télescope.  
 M 6286 Parallaxe.  
 M 6287 Les deux Soleils les plus proches du nôtre.  
 M 6288 Abjuration de Galilée.

- M 6289 Types principaux des spectres des étoiles.  
 M 6290 Spectre de l'étoile nouvelle de la couronne 1866.  
 M 6291 Reproduction d'une photographie directe d'un groupe d'étoiles (amas du Cancer).  
 M 6292 Position dans le ciel des étoiles temporaires subitement apparues.  
 M 6293 Cadran stellaire perpétuel formé par l'étoile double gamma de la Vierge.  
 M 6294 Aspect de quelques types d'étoiles doubles.  
 M 6295 Apparition subite de l'étoile nouvelle en 1572.  
 M 6296 Mouvements propres de chaque étoile dans le ciel, hémisphère austral.  
 M 6297 Mouvements propres de chaque étoile dans le ciel, hémisphère boréal.  
 M 6298 Mouvement de Sirius dans l'espace et mouvement de  $\alpha$  du Cygne.  
 M 6299 Un champ télescopique dans la voie lactée.  
 M 6300 Les pléiades vues à l'œil nu.  
 M 6301 Les pléiades vues au télescope.  
 M 6302 Amas d'étoiles dans Persée.  
 M 6303 Amas du Centaure.  
 M 6304 Amas du Toucan.  
 M 6305 Nébuleuse en spirale de la constellation des Chiens de chasse.  
 M 6306 La nébuleuse d'Orion.  
 M 6307 La nébuleuse de l'Écu-de-Sobieski.  
 M 6308 Nébuleuse double dans la Grande-Ourse.  
 M 6309 Nébuleuse double dans le Verseau.

## COLLECTION DE LA REVUE D'ASTRONOMIE POPULAIRE

PAR M. CANNILLE FLAMMARION

### Le Soleil

- M 6486 Aspect du Soleil et de ses taches.  
 M 6487 Projection directe de l'image du Soleil sur un écran.  
 M 6488 Groupe de taches solaires avec leurs variations successives.  
 M 6489 Aspect granulé du Soleil. Une facule.  
 M 6490 Groupe de taches solaires.  
 M 6491 Tache solaire avec courants lumineux.  
 M 6492 Tache solaire près du bord.  
 M 6493 Figure comparative de différents spectres.  
 M 6494 Le Soleil à minuit, le 21 juin, pour Paris, Saint-Petersbourg et le mont Avasaxa.  
 M 6495 Le Soleil de minuit sur l'Avasaxa.  
 M 6496 Photographie directe de la surface du Soleil, vagues lumineuses et courants.  
 M 6497 La grande tache solaire des 17, 18, 19, 20 avril 1882.  
 M 6498 Les flammes du Soleil.  
 M 6499 Les flammes du Soleil : formes variées.  
 M 6500 Ombre portée par une facule sur une tache solaire.  
 M 6501 Tache solaire du 30 juin 1883 et le 2 juillet 1883.  
 M 6502 Tache solaire du 2 juillet 1883 et le 27 juillet 1883.  
 M 6503 Photographie du Soleil, le 26 juin 1885.  
 M 6504 Aspect du Soleil et de l'un des corps célestes.  
 M 6505 Détail de deux protubérances.  
 M 6506 Tache solaire observée le 29 juin et le 8 juillet 1886.  
 M 6507 Ombres observées sur une tache solaire.

- M 6508 Tache solaire régulière.  
 M 6509 L'une des plus grandes taches observées, 14 octobre 1883.  
 M 6510 Flammes solaires dix-huit fois plus hautes que le diamètre de la Terre (observées à Rome le 30 janvier 1885).  
 M 6511 Protubérances et éruptions comparées au volume de la Terre.  
 M 6512 Tache solaire gigantesque du 4 septembre 1891. Dessin de M. Astoniadi à Constantinople.  
 M 6513 Taches solaires du 2, 3, 4, 7 septembre 1891.  
 M 6514 Grande tache solaire du 10 février 1892.  
 M 6515 Grande tache solaire le 13 février 1892. Détails de la masse de matière brillante qui sépare les deux principaux noyaux.  
 M 6516 La tache solaire du 15 juillet 1892. Premier aspect de la tache. Apparition d'un éclair.  
 M 6517 Point lumineux, aspect final de la tache.  
 M 6518 Grandeur comparée du Soleil et des planètes.

### La Lune

- M 6519 Cirques d'Archimède et d'Aristillus au lever du Soleil.  
 M 6520 Photographie directe de la lumière cendrée de la Lune.  
 M 6521 La mer des Crises et ses environs.  
 M 6522 Mer de la Fécondité.  
 M 6523 Région montagneuse au Sud de la mer de la Fécondité.  
 M 6524 La mer de la Tranquillité et ses environs.  
 M 6525 La mer de la Sérénité et ses environs.  
 M 6526 Copernic, les Appennins, le Caucase, la mer des Phées et les régions voisines.  
 M 6527 La mer des Nuées et les régions voisines.  
 M 6528 Le cirque de Tycho et les traînées blanchâtres.  
 M 6529 La mer des Humeurs et des environs.  
 M 6530 L'océan des Tempêtes (région australe).  
 M 6531 L'océan des Tempêtes (région boréale).  
 M 6532 Le cratère lunaire de Copernic, d'après Secchi.  
 M 6533 Mur rectiligne traversant le cirque lunaire d'Endoxe.  
 M 6534 Paysage lunaire.  
 M 6535 Cirque lunaire de Platon traversé par un rayon de Soleil.  
 M 6536 La région des Alpes lunaires, d'après Bianchini.  
 M 6537 Le cratère lunaire de Tycho, d'après M. Gaudibert.  
 M 6538 Cirque lunaire de Platon au lever du Soleil.  
 M 6539 La vallée des Alpes lunaires et le cirque de Platon.  
 M 6540 Le cirque lunaire, Flammarion, 20 mars 1888.  
 M 6541 Le Straight Wall ou mur droit, dans la Lune, dessin de M. Gaudibert.  
 M 6542 Le cratère Eneke et ses environs.  
 M 6543 La région lunaire, Lohrmann-Riccioli.  
 M 6544 Le cirque lunaire, Petavius, dessin de M. Landerer.

### La Terre

#### et les Phénomènes atmosphériques

- M 6545 Attractions exercées sur la Lune par les deux protubérances liquides de la marée.

- M 6346 La Terre le 21 juin : durée du jour selon les latitudes.
- M 6347 Spectre aërien observé au Pic du Midi le 17 juillet 1882.
- M 6348 Spectre aërien observé en ballon le 15 avril 1868.
- M 6349 Après le tremblement de terre.
- M 6350 Le golfe de Naples.
- M 6351 Le Vésuve et les champs Phlégiens.
- M 6352 Spectre aërien observé en Andalousie, le 4 avril 1883.
- M 6353 Phénomène d'optique observé en Suisse le 8 septembre 1881.
- M 6354 Croix aëriennes observées après la catastrophe de Cervin, le 14 juillet 1865.
- M 6355 Le détroit de la Sonde, Java et ses volcans.
- M 6356 Les débuts de l'éruption du Krakaton.
- M 6357 Carte de la région du cataclysme de Java.
- M 6358 Chaîne volcanique des monts Dôme.
- M 6359 Mer de nuages couvrant la France centrale.
- M 6360 Direction actuelle de l'aiguille aimantée dans les principales villes de France et environs.
- M 6361 Moissonneurs foudroyés gardant l'attitude dans laquelle ils ont été surpris.
- M 6362 Distribution des coups de foudre par départements.
- M 6363 Nombre proportionné de foudroyés par population.
- M 6364 Trombe observée aux Etats-Unis.
- M 6365 Tremblement de terre de l'Espagne ; les ruines de l'Alhama.
- M 6366 Effets de la première secousse.
- M 6367 Vue générale des crevasses de Guévéjar.
- M 6368 Crevasse sur la route de Loja à Alhama ; le dernier muet.
- M 6369 Positions moyennes annuelles des lignes isothermes de l'eau, dans la région équatoriale de l'océan Atlantique.
- M 6370 Halo et parhélies observés à Orléans le 15 janvier 1883.
- M 6371 Hommes lancés en l'air à Port-Royal en 1693.
- M 6372 Déplacement des pierres des obélisques de San-Stefano.
- M 6373 La ville de Oniah disparaissant entièrement dans les crevasses.
- M 6374 Gouffre formé près d'Oppido (Calabre 1783).
- M 6375 Navires jetés sur le rivage par la secousse du Krakaton.
- M 6376 Oscillations tracées par le pendule enregistreur du tremblement de terre.
- M 6377 Distribution des volcans sur le globe terrestre.
- M 6378 Le mascaret de Caudebec.
- M 6379 Plan de l'embouchure de la Seine.
- M 6380 Carte des anciens glaciers des Alpes.
- M 6381 Trombe marine observée à San-Remo.
- M 6382 La porte d'entrée du Mont Saint-Michel à marée basse.
- M 6383 La porte d'entrée du Mont Saint-Michel à marée haute.
- M 6385 Aurore boréale observée en février 1874 par l'expédition de Tégéthoff.
- M 6386 Apparences successives de l'aurore à Bossekop, le 12 janvier 1839.
- M 6387 Aurore boréale de Breuilpont, près Evreux, le 13 janvier 1839.
- M 6388 Aurore boréale du 3 mars 1879.
- M 6389 Aurore boréale du 5 mars 1879.
- M 6390 Aurore polaire observée à Paris le 4 février 1872.
- M 6391 Carte de la fréquence des aurores boréales.
- M 6392 Aurore australe observée à Melbourne le 2 septembre 1850.
- M 6393 Aurore boréale observée à Noutalo (Alaska).
- M 6394 Le halo solaire du 3 mai observé à Argentan (Orne).
- M 6395 Aurore boréale observée à Bossekop, le 30 décembre 1838.
- M 6396 Aurore boréale observée à Bossekop, le 21 janvier 1839.
- M 6397 Eclair photographié le 26 mai 1886.
- M 6398 Le sommet du mont Canigou, vu de Marseille, au Soleil couchant.
- M 6399 Carte générale des courants de la mer.
- M 6600 Température moyenne de chaque jour de l'année 1886, comparée à la moyenne de soixante-quatre années.
- M 6601 Halo solaire observé à Provins le 28 janvier 1887.
- M 6602 Halo solaire observé à Lorrez-le-Bois, le 28 janvier 1887.
- M 6603 Halo solaire observé à Gien le 28 janvier 1887.
- M 6604 Halo solaire observé à Fontainebleau le 28 janvier 1887.
- M 6605 Carte du tremblement de terre du 23 février 1887, Nord de l'Italie et Midi de la France.
- M 6606 Feu Saint-Elme observé sur la cathédrale de Bruck.
- M 6607 Coupe verticale et projection horizontale d'un cyclone.
- M 6608 Arc-en-ciel quintuple observé à Orléans.

### Les Planètes

- M 6609 La tache rouge de Jupiter sur le méridien central.
- M 6610 Aspect télescopique de la planète Mars.
- M 6611 Le pôle austral de Mars en 1877 et 1879.
- M 6612 Mappemonde géographique de la planète Mars.
- M 6613 Mappemonde géographique de la planète Mars.
- M 6614 Le satellite de Vénus (Cassini 1672).
- M 6615 Aspect télescopique de la planète Vénus.
- M 6616 Grandeurs comparées de la Terre, de Mars, Mercure et la Lune.
- M 6617 Aspect de Jupiter (le 6 août 1882).
- M 6618 Phases de Vénus, le 1<sup>er</sup> novembre (éclat maximum le 30 novembre 1882).
- M 6619 Vénus entre la Terre et le Soleil.
- M 6620 Aspect de la planète Jupiter.
- M 6621 Occultation de Saturne par la Lune.
- M 6622 Observation de l'atmosphère de Vénus.
- M 6623 Dernière observation de la tache rouge de Jupiter.
- M 6624 Aspect actuel de Saturne.
- M 6625 Diagrammes des mesures des anneaux de Saturne.
- M 6626 Le système de Saturne (mesures de M. Struve).
- M 6627 Le système de Saturne (mesures de M. Meyer).
- M 6628 Nuages sur Mars (20 décembre 1881).
- M 6629 L'île neigeuse. Vue de l'océan Kepler.
- M 6630 Nunges le long des côtes des mers sur Mars.
- M 6631 Jupiter, le 10 septembre 1883.
- M 6632 Disparition apparente des satellites de Jupiter, le 14 octobre 1883.
- M 6633 Dimension probable de Sirius relativement à notre Soleil.
- M 6634 Le système planétaire développé jusqu'à la planète transneptunienne.

- M 6635 Aspect télescopique de Saturne le 2 décembre 1883.  
 M 6636 Aspect télescopique de la planète Mars en 1885.  
 M 6637 Aspect télescopique de la planète Mars en 1884.  
 M 6638 Maximum d'ouverture des anneaux de Saturne en 1885 et variation générale de leur perspective.  
 M 6639 Phases de Vénus en 1885.  
 M 6640 Saturne du 11 février 1884.  
 M 6641 Aspect de Jupiter, le 27 novembre 1884.  
 M 6642 Aspect de Jupiter le 31 décembre 1884.  
 M 6643 Les principaux mondes du système solaire.  
 M 6644 Mercure les 22 et 27 septembre 1885.  
 M 6645 Marche et position de Vénus en 1885.  
 M 6646 Phases de Vénus en 1886.  
 M 6647 Phases de Mars en 1886.  
 M 6648 Aspect de Jupiter, le 28 décembre 1885.  
 M 6649 Aspect de Saturne, le 23 décembre 1885.  
 M 6650 Occultation de Jupiter par la Lune.  
 M 6651 Aspect de la planète Mars.  
 M 6652 Carte géographique de Mars.  
 M 6653 Aspect de Mars en 1886, par M. Denning.  
 M 6654 Carte de Mars par M. Schiaparelli.  
 M 6655 Vénus le 22 décembre, trois heures trente-cinq du soir et le 30 décembre à quatre heures du soir.  
 M 6656 Phase de Vénus de janvier à juin 1887.  
 M 6657 " de juillet à décembre 1887.  
 M 6658 Les satellites de Saturne. Marche de Titan.  
 M 6659 Mars. Nouvelle carte des canaux double, par M. Schiaparelli. 1882 à 1886.  
 M 6660 Mars, juin 1888. Observatoire de Juvisy.  
 M 6661 Carte d'ensemble de la planète Mars avec les lignes sombres non doublées, observées pendant les 6 oppositions de 1877-1878.  
 M 6662 Doublement des lignes de la planète Mars observées principalement pendant les oppositions de 1882 et 1888.  
 M 6663 Les aspects de la planète Mars (Dessin du R. A. Proctor).  
 M 6664 Variation et perspective des anneaux de Saturne. Disparition des anneaux.  
 M 6665 Mappemonde de la planète Vénus, dressée par M. Niesten, d'après ses observations de 1881-1890.  
 M 6666 Aspect de Jupiter, le 18 septembre à deux heures quarante-cinq du matin (tache allongée et ombre du 3<sup>e</sup> satellite).  
 M 6667 Aspect de Jupiter le 27 septembre à huit heures trente-et-un (tache rouge).  
 M 6668 Dessins de Mars faits à l'Observatoire de Juvisy en 1892.  
 M 6669 Dessins de Mars faits à l'Observatoire de Juvisy en 1892.  
 M 6670 Vue télescopique de Mars au grand équatorial de l'Observatoire Liek.

### Les Étoiles

- M 6671 Méthode pour trouver l'étoile polaire.  
 M 6672 Étoiles voisines du pôle.  
 M 6673 Les étoiles visibles à l'œil nu pour une vue moyenne (hémisphère boréal).  
 M 6674 Les étoiles visibles à l'œil nu, pour une vue moyenne (hémisphère austral).  
 M 6675 Un point du Ciel vu à l'œil nu.  
 M 6676 Le même point du Ciel vu jusqu'aux étoiles de la neuvième grandeur.

- M 6677 Carte des 324.198 étoiles de l'hémisphère céleste.  
 M 6678 Étoiles de la constellation du Cygne, visibles à l'œil nu.  
 M 6679 Sirius, Orion et les principales étoiles du Sud.  
 M 6680 Photographie directe d'un point du Ciel.  
 M 6681 L'amas de Persée, photographié directement.  
 M 6682 Carte des étoiles fondamentales de la connaissance des temps, dans l'hémisphère boréal.  
 M 6683 La constellation du Dragon.  
 M 6684 Carte des pléiades.  
 M 6685 Photographie des pléiades.  
 M 6686 " d'une région du Ciel et de la constellation du Cygne.  
 M 6687 Mouvements propres des étoiles (hémisphère boréal) calculés pour cinquante mille ans.  
 M 6688 Photographie directe de l'amas des Gémeaux.  
 M 6689 Marche du pôle parmi les étoiles en vertu du déplacement du système solaire.  
 M 6690 Reproduction d'une photographie directe de l'amas d'étoiles M 38, constellation du Céphée.  
 M 6691 Reproduction d'une photographie directe de Cassiopee.  
 M 6692 Reproduction d'une photographie directe d'une région de la constellation des Gémeaux.

### Les Nébuleuses

- M 6693 La nébuleuse d'Orion.  
 M 6694 Nébuleuse de la constellation du Lion.  
 M 6695 Les vides dans le Ciel, trou noir dans la voie lactée.  
 M 6696 La nébuleuse d'Andromède et son étoile nouvelle.  
 M 6697 Région centrale de la nébuleuse d'Andromède.  
 M 6698 Nébuleuse découverte par la photographie.  
 M 6699 Dessin original de la nébuleuse de Merope fait à Marseille en 1860, par M. Tempel.  
 M 6700 La nébuleuse du pôle de l'écliptique vue dans le grand équatorial de l'Observatoire Liek.  
 M 6701 Photographie directe de la nébuleuse d'Andromède, par M. Isaac Roberts. (Pose 4 heures).

### Les Comètes

- M 6702 Marche de la grande comète de 1884 observée à l'œil nu.  
 M 6703 La comète doublée, aujourd'hui perdue.  
 M 6704 Orbite de la comète de Halley.  
 M 6705 La grande comète de 1881.  
 M 6706 Les queues des comètes sont opposées au Soleil.  
 M 6707 La grande comète de 1843.  
 M 6708 La comète de 1843 entourant le Soleil en 2 heures, avec une queue rectiligne de 80 millions de lieues de long.  
 M 6709 Tête de la comète de 1861, le 30 juin (1<sup>er</sup> juillet).  
 M 6710 La comète Wells, le 3 juin 1882.  
 M 6711 Marche de la comète Wells sur la sphère céleste.  
 M 6712 Aspect de la grande comète, le 9 octobre 1882.



- |        |                                                                     |        |                                                                                                           |
|--------|---------------------------------------------------------------------|--------|-----------------------------------------------------------------------------------------------------------|
| M 6795 | Chute d'un uranolithe, à Montpréès (Styrie) le 31 juillet 1859.     | M 6805 | Intersection du plan des orbites des étoiles filantes du 27 novembre, avec le plan de l'orbite terrestre. |
| M 6796 | Fragment du fer de Pallas.                                          | M 6806 | Intersection du plan des orbites des étoiles filantes du 10 août avec le plan de l'orbite terrestre.      |
| M 6797 | Uranolithe tombé à Girgenti (Sicile) le 10 février 1853.            | M 6807 | Intersection du plan des orbites des étoiles filantes du 14 novembre, avec le plan de l'orbite terrestre. |
| M 6798 | Météorite tombée le 13 octobre 1877, à Saka-Bonja (Serbie).         | M 6808 | Incorporation dans notre système des étoiles filantes du 14 novembre par l'action d'Uranus.               |
| M 6799 | Fer météorique du Mexique.                                          | M 6809 | Chute d'une météorite à Chandpur (Indes).                                                                 |
| M 6800 | Couches superposées visibles dans un aérolithe de Sainte-Catherine. | M 6810 | Bolide lent observé à Constantine le 24 mars 1888.                                                        |
| M 6801 | Uranolithe tombé à Aintab (Turquie)                                 | M 6811 | Chute d'aérolithes. Sous le règne de l'empereur Valens, an 366.                                           |
| M 6802 | Blocs de fer natif trouvés au pied d'une falaise de Groenland.      |        |                                                                                                           |
| M 6803 | Point radiant des étoiles filantes, le 27 novembre 1885.            |        |                                                                                                           |
| M 6804 | Etoiles filantes observées le 27 novembre 1885.                     |        |                                                                                                           |

### REMARQUE IMPORTANTE

Étant autorisés par les éditeurs MM. MARPON et FLAMMARION à reproduire les figures des principales livraisons concernant l'Astronomie, et qui sont :

### LES ÉTOILES ET LES CURIOSITÉS DU CIEL

de CAMILLE FLAMMARION

### LES TERRES DU CIEL

de CAMILLE FLAMMARION

Nous avons cru inutile de les cataloguer entièrement, nous étant bornés à faire figurer les titres des gravures les plus souvent usitées dans l'Enseignement et dans les Conférences.

Celles qui ne se trouveraient pas dans le Catalogue pourraient être fournies en indiquant la page et le titre dans l'ouvrage.

Outre les ouvrages ci-dessus, nous avons aussi l'autorisation de reproduire les figures du

### COURS D'ASTRONOMIE POPULAIRE

Professé par M. JOSEPH VINOT

### CHAPITRE B

### Météorologie

#### Terres et Phénomènes atmosphériques

- |        |                                                                    |        |                                                    |
|--------|--------------------------------------------------------------------|--------|----------------------------------------------------|
| M 6815 | Les saisons de la Terre.                                           | M 6833 | Météorographe du R. P. Secchi.                     |
| M 6816 | Déviations dans la chute des corps.                                | M 6834 | Météorographe du R. P. Secchi.                     |
| M 6817 | Courbure des mers.                                                 | M 6835 | Mirage.                                            |
| M 6818 | La Terre aux équinoxes, égalité générale du jour et de la nuit.    | M 6836 | Trouble marine.                                    |
| M 6819 | La Terre aux solstices, inégalité générale du jour et de la nuit.  | M 6837 | Lignes isothermes des deux hémisphères.            |
| M 6820 | La Terre vue de Mercure.                                           | M 6838 | Aurore boréale observée à Paris le 4 février 1872. |
| M 6821 | " " " Vénus.                                                       |        |                                                    |
| M 6822 | " " " Mars.                                                        |        |                                                    |
| M 6823 | " " " Jupiter.                                                     |        |                                                    |
| M 6824 | " " " la Lune.                                                     |        |                                                    |
| M 6825 | Translation et rotation de la Terre, jour sidéral et jour solaire. |        |                                                    |
| M 6826 | Marche des cyclones.                                               |        |                                                    |
| M 6827 | Cristaux de la neige.                                              |        |                                                    |
| M 6828 | Rose des vents.                                                    |        |                                                    |
| M 6829 | Forme des nuages.                                                  |        |                                                    |
| M 6830 | Aurore boréale.                                                    |        |                                                    |
| M 6831 | " " " observée à Paris le 15 avril 1869.                           |        |                                                    |
| M 6832 | " " " "                                                            |        |                                                    |

#### Carte du bureau central

#### météorologique de France

- |        |                                                                 |
|--------|-----------------------------------------------------------------|
| M 6839 | Isothermes moyennes de janvier, par M. Léon Teisserenc de Bort. |
| M 6840 | Isothermes moyennes de juillet.                                 |
| M 6841 | Etat atmosphérique, le 22 août 1878, 7 heures du matin.         |
| M 6842 | Etat atmosphérique, le 9 octobre 1878, 8 heures du matin.       |
| M 6843 | Etat atmosphérique, le 10 octobre 1878, 8 heures du matin.      |
| M 6844 | Etat atmosphérique, le 11 octobre 1878, 8 heures du matin.      |

- M 6845 Etat atmosphérique, le 12 octobre 1878, 8 heures du matin.  
 M 6846 Etat atmosphérique, le 12 novembre 1878, 8 heures du matin.  
 M 6847 Etat atmosphérique, le 13 novembre 1878, 8 heures du matin.  
 M 6848 Etat atmosphérique, le 14 novembre 1878, 8 heures du matin.  
 M 6849 Etat atmosphérique, le 15 novembre 1878, 8 heures du matin.  
 M 6850 Etat atmosphérique, le 16 novembre 1878, 8 heures du matin.  
 M 6851 Etat atmosphérique, le 17 novembre 1878, 8 heures du matin.  
 M 6852 Etat atmosphérique, le 1<sup>er</sup> janvier 1879, 8 heures du matin.  
 M 6853 Etat atmosphérique, le 4 décembre 1879, 8 heures du matin.  
 M 6854 Etat atmosphérique, le 5 décembre 1879, 8 heures du matin.  
 M 6855 Etat atmosphérique, le 16 décembre 1879, 8 heures du matin.  
 M 6856 Baromètres et variations, Ciel, Mer et Vents, 11 novembre 1883, 8 heures du matin.  
 M 6857 Baromètres et variations, Ciel, Mer et Vents, 13 novembre 1883, 8 heures du matin.  
 M 6858 Baromètres et variations, Ciel, Mer et Vents, 11 novembre 1883, 8 heures du matin.  
 M 6859 Foliation.  
 M 6860 Floraison des plantes d'avril (Scanie).  
 M 6861 Floraison du prunus, pudus, comparée à la marche de la température.  
 M 6862 Epoque moyenne de la floraison des plantes qui fleurissent en avril (Scanie).  
 M 6863 Epoque de l'arrivée de l'alouette.  
 M 6865 Spectre lumineux observé au Pic du Midi, le 17 juillet 1882.  
 M 6866 Observatoire magnétique du parc St-Maur. Vue des appareils de variation à lecture directe.  
 M 6867 Observatoire magnétique du parc St-Maur. Boussole des variations en déclinaison.  
 M 6868 Observatoire magnétique du parc St-Maur. Balance magnétique.  
 M 6869 Observatoire magnétique du parc St-Maur. Vue des appareils enregistreurs.  
 M 6870 Observatoire magnétique du parc St-Maur. Détail de l'enregistreur.  
 M 6871 Observatoire magnétique du parc St-Maur. Electromètre de M. Mascart.  
 M 6872 Observatoire magnétique du parc St-Maur. Méthode d'enregistrement de l'électromètre.  
 M 6873 Observatoire de Santis (Suisse). Anémomètre enregistreur.  
 M 6874 Mer de nuages observée au sommet du Puy-de-Dôme.  
 M 6875 Vue extérieure de l'Observatoire de Montsouris.  
 M 6876 Nouvel Observatoire du Pic du Midi.  
 M 6877 Distribution de la température, 16 décembre 1879, 8 heures du matin.  
 M 6878 Carte hypsométrique de la France.  
 M 6879 Carte. — Pluies du 21 au 29 janvier 1879.  
 M 6880 Carte. — Pluies du 16 au 25 février 1879.  
 M 6881 Carte. — Pluies du 26 au 28 avril 1879.  
 M 6882 " " 1<sup>er</sup> au 10 juillet 1879.  
 M 6883 " " 16 au 17 septembre 1879.  
 M 6884 Carte. — Pluies du 1<sup>er</sup> avril 1880.  
 M 6885 " " 3 au 10 octobre 1880.  
 M 6886 " " 15 au 20 octobre 1880.  
 M 6887 Pluie totale, année 1879.  
 M 6888 " " 1880.  
 M 6889 Nombre des jours de pluie 1879.  
 M 6889 bis Carte indiquant la marche du cyclone du 30 mai au 4 juin 1880.  
 M 16818 Colonie lumineuse observée à Orsay (Seine-et-Oise), les 12 et 14 juillet 1693.  
 M 16813 Grêlons tombés à Toulouse, pendant l'orage du 28 juillet 1874.

### Photographies de nuages tirées d'après les négatifs de M. Angot

- M 15688 Cumulus (beau temps).  
 M 15689 Cumulus nimbus à l'horizon, nuages à giboulées.  
 M 15690 Cumulus et fracto-cumulus.  
 M 15691 " " "  
 M 15692 Cirro-stratus.  
 M 15693 Alto-cumulus.  
 M 15694 Cumulus et cirrus.  
 M 15695 Cirrus avec quelques cumulus.  
 M 15696 Cirrus précédant un orage.

### L'air et le monde aérien.

#### Phénomènes de l'air. Première partie

- M 15697 Paysage des Tropiques.  
 M 15698 Paysage polaire.  
 M 15699 Ouragan à l'île de la Réunion.  
 M 15700 Cyclone sur la côte de Mozambique.  
 M 15701 Le simoun.  
 M 15702 Tempête du 2 décembre 1863 sur la côte du Finistère.  
 M 15703 Mouvement de rotation et de translation des cyclones.  
 M 15704 Nuages.  
 M 15705 L'orage.  
 M 15706 Trombe aux environs de Loudun.  
 M 15707 Lumière polaire.  
 M 15708 Aurore polaire observée à Rossekop en 1838.  
 M 15709 Le mirage.  
 M 15710 Explication du mirage.  
 M 15711 L'arc-en-ciel.  
 M 15712 Lumière zodiacale.

#### Météorites

- M 15714 Météorite de Knyahynia en 2 morceaux.  
 M 15715 Pierre de la Sierra de Chaco.  
 M 15716 Pierre de Girgenti.  
 M 15717 Vue de la pierre de Cangas de Onis.  
 M 15718 Fer de Decsa.  
 M 15719 Vue du fer de Pallas.  
 M 15720 Coupe idéale du globe météoritique.  
 M 9648 Météorite en équilibre sur un rocher.

Voir aussi :

- Terre et Phénomènes atmosphériques*, chapitre A, page 8 ;  
*Météorologie*, classe III, chapitre A :  
*Phénomènes et Curiosités de la nature*, chapitre C, page 23 ;  
*La Météorologie en ballon*, catalogue 68, série 166, composée de 17 vues ;  
*L'Electricité et la Foudre*, catalogue 68, série 131, composée de 21 vues ;  
*Une ville sur la glace*, catalogue 68, série 184, composée de 23 vues.



- M 6713 Tête de la comète observée au télescope.  
 M 6714 Marche de la comète sur la sphère céleste.  
 M 6715 Photographie directe de la comète par M. Gill, au Cap de Bonne-Espérance.  
 M 6716 La comète observée à Wasmes, par Arthus, le 19 octobre 1882.  
 La comète observée à Anvers, le 24 octobre 1882.  
 M 6717 La tête de la comète observée à Washington, le 21 novembre 1882.  
 M 6718 La grande comète observée à Lyon le 12 octobre 1882.  
 M 6719 La comète vue à l'île de la Réunion.  
 M 6720 Marche de la grande comète de 1882 sur la sphère céleste.  
 M 6721 Aspect de la comète de Pons, observée à Washington.  
 M 6722 Singulier aspect présenté par la grande comète 1883.  
 M 6723 Marche de la comète de Pons, 1882, dans son retour de 1883.  
 M 6724 Aspect de la comète Fabry pendant sa visibilité à l'œil nu.  
 M 6725 La grande comète australe de 1887.  
 M 6726 La comète Sawyerthal, du 4 juin au 14 août 1888.

### Observatoires et Instruments

- M 6727 L'Observatoire de Paris en 1672.  
 M 6728 " " avec ses nouveaux agrandissements.  
 M 6729 Le grand télescope de l'Observatoire de Paris.  
 M 6730 Machine à vapeur mise en mouvement par la chaleur solaire.  
 M 6731 Le pic du Midi : emplacement du nouvel Observatoire.  
 M 6732 Projet de coupole à flotteur de M. Eiffel, pour équatorial de 16 mètres.  
 M 6733 La lunette méridienne.  
 M 6734 L'équatorial.  
 M 6735 Le nouvel équatorial coudé de l'Observatoire de Paris.  
 M 6736 L'héliomètre.  
 M 6737 Instrument méridien donné par M. Bischoffshelm, à l'Observatoire de Paris.  
 M 6738 Plan général de l'Observatoire de Nice.  
 M 6739 La coupe flottante de 22 mètres de diamètre.  
 M 6740 La coupole sur son piédestal.  
 M 6741 Coupe du flotteur de la coupole.  
 M 6742 Cadran solaire à rétrogradation de l'Observatoire de Juvisy.  
 M 6743 Le cadran solaire de Nice.  
 M 6744 Le pyromètre solaire de M. J. Ericson.  
 M 6745 Appareil installé à l'Observatoire de Paris pour la photographie céleste.  
 M 6746 L'Observatoire Lick, vu du Nord-Est.  
 M 6747 La salle méridienne de l'Observatoire Lick.  
 M 6748 La grande coupole de l'Observatoire Lick au-dessus des nuages.  
 M 6749 Appareil pour la mesure des photographies d'étoiles doubles.  
 M 6750 Gyroscope Foucault.  
 M 6751 Nouveau pyrhéliomètre de M. Ericson.  
 M 6752 Observatoire de Juvisy intérieur de la coupole.  
 M 6753 La première jumelle 1686.  
 M 6754 Le grand équatorial de l'Observatoire de Nice.  
 M 6755 L'Observatoire Lick en Californie, vue générale.  
 M 6756 La statue de Le Verrier à l'Observatoire de Paris.

- M 6757 Le grand équatorial de 0,91 d'ouverture et de 15 mètres de longueur.  
 M 6758 L'oculaire du grand équatorial.  
 M 6759 L'Observatoire de Tananarive. (Île de Madagascar.)

### Eclipses

- M 6760 La dernière éclipse totale du Soleil, observée le 29 juillet 1878.  
 M 6761 Phases de l'éclipse du 17 mai à Paris, Marseille, Alger et Le Caire.  
 M 6762 Marche de l'ombre de la Lune sur la Terre pendant l'éclipse du 17 mai 1882.  
 M 6763 L'éclipse totale du Soleil du 18 juillet 1860.  
 M 6764 L'éclipse totale du Soleil du 22 décembre 1876.  
 M 6765 Photographie de l'éclipse totale et de la comète.  
 M 6766 Phase maximum photographiée à l'Observatoire de Paris.  
 M 6767 L'éclipse totale du 6 mai observée à l'île Caroline.  
 M 6768 L'éclipse totale du Soleil du 6 mai 1883, observée à l'île Caroline.  
 M 6769 Flammes, couronne et rayonnement du Soleil, pendant l'éclipse de 1860.  
 M 6770 Photographie directe de l'éclipse.  
 M 6771 Phases successives de l'éclipse.  
 M 6772 Tracé des éclipses passées sur l'Angleterre depuis mille ans.  
 M 6773 Aspect du Soleil, pendant l'éclipse totale du 9 septembre 1882.  
 M 6774 Éclipse totale du Soleil, 18 juillet 1860.  
 M 6775 Éclipse totale du Soleil, 11 décembre 1887.  
 M 6776 Éclipse annulaire du Soleil, 22 février 1871, observée dans l'Océan Pacifique.  
 M 6777 Marche de l'ombre de la Lune pendant l'éclipse totale du Soleil; 19 août 1887.  
 M 6778 Éclipse totale de Soleil, du 19 août 1887.  
 M 6779 Une éclipse de Lune à Tachkent.  
 M 6780 Une éclipse de Lune dans le Laos.  
 M 6781 Les éclipses du XIX<sup>e</sup> siècle, marche de l'ombre de la Lune 1801 à 1814.  
 M 6782 Les éclipses du XIX<sup>e</sup> siècle, marche de l'ombre de la Lune, 1815 à 1832.  
 M 6783 Les éclipses du XIX<sup>e</sup> siècle, marche de l'ombre de la Lune, 1855 à 1876.  
 M 6784 Les éclipses du XIX<sup>e</sup> siècle, marche de l'ombre de la Lune, 1855 à 1876.  
 M 6785 Les éclipses du XIX<sup>e</sup> siècle, marche de l'ombre de la Lune, 1877 à 1900.  
 M 6786 Aspect du Soleil pendant l'éclipse du 19 août 1881.  
 M 6787 Éclipse totale du 19 août 1887.  
 M 6788 Éclipse de Lune du 28 janvier 1888, le Soleil arrivant derrière la Terre.  
 M 6789 Aspect du voisinage solaire pendant l'éclipse totale 1<sup>re</sup> janvier 1889.  
 M 6790 L'éclipse totale de Soleil du 22 décembre 1889.

### Bolides, Aérolithes, Étoiles filantes

- M 6791 Chute d'un bolide au milieu de la campagne.  
 M 6792 Bolide avec traînée de poussière lumineuse.  
 M 6793 Aérolithes.  
 M 6794 Météorite tombée, le 30 janvier 1868 à Pultusk, près Varsovie.

## CHAPITRE C

## Géologie

## Section 1. — Minéralogie

## HISTOIRE DU GLOBE

## Ere primitive

- M 6890 La terre à l'état gazeux.  
M 6891 Condensation des eaux.

## Roches et Eruptions volcaniques

- M 6892 La chaîne des Puys vue de Randanne (Puy-de-Dôme).  
M 6893 Roches granitiques de la pointe du sémaphore de Saint-Lunaire (Ille-et-Vilaine).  
M 6894 Le grand Servin, roche serpentineuse.  
M 6895 Montagnes de la Bourboule (Puy-de-Dôme).  
M 6896 Colonnades basaltiques de la Croix-de-la-Paille au Puy-en-Velay.  
M 6897 Le roc percé à Pierre-Perthuis (Yonne). Arkose métallifère superposée en granit.  
M 6898 Coulée basaltique de Pradelle près Clermont-Ferrand.  
M 6899 Le Puy de Parion vu du Nid de la Poule (Puy-de-Dôme).

## Ere primaire

- M 6900 Coupe des terrains primaires.  
M 6901 Tableau des principaux fossiles primaires.  
1 Ogygia Guettardi.  
2 Trinucleus Pongerardi.  
3 Paradoxides spinulosus.  
4 Nerelles cumbriensis.  
5 Lituites cornu arietis.  
6 Hemioconites pyriformis.  
7 Calymene Blumenbachii.  
8 Pentamerus Knighti.  
9 Orthis rustica.  
10 Ilaiysites labyrinthica.  
11 Calymene Blumenbachii, enroulé sur lui-même.  
12 Atrypa reticularis.  
13 Clymenia Segdwicki.  
14 Cupressocrinus crassus.  
15 Platycrinus triacanthodactylus.  
16 Lithostrotion basaltiforme.  
17 Lonsdalea floriformis.  
18 Fusulina cylindrica.  
19 Neuropteris heterophylla.  
20 Odonopteris schlotheimii.  
21 Rameau de Lepidodendron.  
22 Tronc de Calamites.  
23 Archegosaurus minor, tête et cou.  
24 Empreintes de feuilles de Nœggerathia expansa.  
25 Productus horridus.  
26 Palaeoniscus.  
27 Lepidodendron Sternbergii.  
28 Acanthodes.  
29 Climatius.  
M 6902 Flore carbonifère des houillères de la Loire.  
M 6903 Reconstitution de la flore houillère du bassin de Saint-Etienne, d'après M. Grand'Eury.  
M 6904 Vue idéale de la Terre pendant la période silurienne.

- M 6905 Vue idéale de la Terre pendant la période dévonienne.  
M 6906 Vue d'une forêt et d'un marécage pendant la période houillère.  
M 6907 Vue idéale d'une forêt à l'époque houillère, par MM. de Saporta et Marion.  
M 6908 Carrieres de Treuil, couches de terrains avec végétaux fossiles.  
M 6909 Tronc de sigillaire (mines d'Anzin).  
M 6910 Empreintes de fougères.  
M 6911 " "  
M 6912 Pterygotus bilobus et Eurypteris remipes.  
M 6913 Calamite restaurée.  
M 6914 Lepidodendron Sternbergii dans les couches de schistes.  
M 6915 Lepidodendron restauré.  
M 6916 Zoophytes fossiles découverts au Canada.  
M 6917 Neuropteris heterophylla.  
M 6918 Rameau de Lepidodendron Schlotheimii.  
M 6919 Archegosaurus, tête et cou.  
M 6920 " essai de restauration par M. Albert Gaudry.  
M 6921 Probitron, Petrolei, Salamandre des terrains permien, Millery, près d'Aulun.  
M 6922 Schistes comprimés de Fétrogne, bord de la Meuse.  
M 6923 Grès de Fépion (dévonien, inférieur, vallée de la Meuse).  
M 6924 Contact du silurien et du dévonien à Tournavaux (Ardennes).  
M 6925 Dévonien, couches à Stringocéphales, carrières de marbre à Givet.  
M 6926 Schistes ondulés (coup de vent fossile), à Virieux, vallée de la Meuse.  
M 6927 Récif à polypiers (butte du Moulin Boureu), Givet.  
M 6928 Couches relevées du défilé du Moulin Boureu, Givet.  
M 6929 Arbre fossile, mines de Méons (Saint-Etienne).  
M 6930 Scorpion fossile des terrains siluriens.  
M 6931 Flore antédiluviennne. Calamariées.  
M 6932 " Filicaées.  
M 6933 Flore antédiluviennne, Types Lépidodendroides.  
M 6934 Flore antédiluviennne, Subconifères.  
M 6935 Les dames de la Meuse (Ardennes), terrain cambrien.  
M 6936 Empreintes de cheirotherium dans le grès bigarré de Lodève (Hérault).  
M 6937 Tige fossile dans le grès houiller de Saint-Etienne (Loire).  
M 6938 Ardoisière du grand carreau à Trelazé (Maine-et-Loire).  
M 6939 Carrière dans le calcaire carbonifère à Hydrequent (Pas-de-Calais).  
M 6940 Grès silurien à Bagnoles (Orne).  
M 6941 Froucement de schistes cambriens à Fumay (Ardennes).  
M 6942 Orthoceras.

## Epoque secondaire

M 6943 Coupe des terrains de l'époque secondaire.

M 6944 Bords d'une lagune à l'époque céno manienne aux environs de Prague (vue idéale par M. de Saporta).

M 6945 Une plage à l'époque oolithique (vue idéale par M. de Saporta).

M 6946 Tableau des principaux fossiles de l'époque secondaire.

- 1 Ceratites nodosus.
- 2 Encrinurus iliaformis.
- 3 Nevropterus elegans.
- 4 Empreintes de pas d'animal avec empreintes de gouttes de pluie.

- 5 Patella lineata.
- 6 Myophoria lineata.
- 7 Stellispongia variabilis.
- 8 Asterias humbricalis.
- 9 Paleocoma Fustembergii.
- 10 Pentacrinus fasciculosus.
- 11 Ostrea arcuata.
- 12 Ammonites bifrons.
- 13 Ammonites margaritatus.
- 14 Belemnites pistilliformis.
- 15 Belemnites sulcatus.
- 16 Plagiostoma giganteum.
- 17 Pterodactylus crassirostris.
- 18 Ammonites humphriesianus.
- 19 Ostrea Marshall.

- 20 Eschara ranvilliana.
- 21 Biddispora cervicinis.
- 22 Apocrinus elegans.
- 23 Hydrolytus gibberulus.
- 24 Dysaster Eudessii.
- 25 Montilavalia caryophyllata.
- 26 Anabacia orbulites.
- 27 Cryptocentia bacciformis.
- 28 Libellule.
- 29 Eryon arciformis.
- 30 Aptychus sublaevis.
- 31 Ammonites refractus.
- 32 Belemnites hastatus.
- 33 Dicerias arletianum.
- 34 Baguette du Cidaris glandifera.
- 35 Ammonites Jason.
- 36 Ostrea dilatata.
- 37 Terebratulina diphya.
- 38 Hemictodaris crenularis.
- 39 Cribrospongia reticulata.
- 40 Trigonina gibbosa.
- 41 Ostrea deltoidea.
- 42 Ostrea virgula.
- 43 Dent de l'iguanodon.
- 44 Hamites.
- 45 Ancyloceras matheronianus.
- 46 Rhynchoteuthis astieriana.
- 47 Ostrea Couloni.
- 48 Cardium peregrinum.
- 49 Janira atava.
- 50 Terebratulina sella.
- 51 Rhynchonella sulcata.
- 52 Terebrotella astieriana.
- 53 Pterocera Oceani.
- 54 Turritites catenatus.
- 55 Solarium ornatum.
- 56 Pterodonta inflata.
- 57 Avellana cassis.
- 58 Ostrea columba.
- 59 Goniatites major.
- 60 Cyathina Bowerbankii.
- 61 Chrysalidina grandata.
- 62 Cuneolina pavonia.
- 63 Siphonia piriformis.
- 64 Belemnitella mucronata.
- 65 Voluta elongata.
- 66 Phorus canaliculatus.
- 67 Pleurotomaria santonensis.
- 68 Trigonina scabra.
- 69 Crania ignabergensis.
- 70 Caprina Aguilloni.
- 71 Hippurites toucasiana.
- 72 Reticulipora obliqua.
- 73 Trigonina navis.
- 74 Orbitoides media.
- 75 Flabellina rugosa.
- 76 Coscinopora cupuliformis.
- 77 Camerospongia fungiformis.
- 78 Galerites albogalerus.

- 79 Meandrina pyrenaica.
- 80 Syphella Sharpeana.
- 81 Ichthyosaurus communis.
- 82 Plesiosaurus communis.
- 83 Thylacotherium Prevostii.
- 84 Platysomus gibbosus.

M 6947 Vue de la Terre pendant la sous-période conchylienne.

M 6958 L'ichthyosaure et le plesiosaure.

M 6949 Vue idéale de la Terre pendant la période du lias.

M 6950 Carrière à pavés de Bomery (Arden nes), lias supérieur.

M 6951 Lits calcaires et argileux de Romery (Arden nes).

M 6952 Le télosaure et l'hylosaure (période oolithique moyenne).

M 6953 L'iguanodon et le mégalosauve (période crétacée inférieure).

M 6954 Archaeopteryx.

M 6955 Labyrinthodonte restauré.

M 6956 Pterodactyle et Ramphorhynchus.

M 6957 Deux habitants de la Terre pendant l'époque secondaire.

M 6958 Myslriosaure, squelette photographié au Muséum de Paris.

M 6959 Plesiosaure, squelette photographié au Muséum de Paris.

M 6960 Mosasaure, tête photographiée au Muséum de Paris.

M 6961 Labyrinthodonte, empreinte de pas photographiée au Muséum de Paris.

M 6962 Empreintes de poissons fossiles sur un banc de calcaire grossier des environs de Paris.

M 6963 Essai de restauration d'un labyrinthodonte du trias, par M. A. Gaudry.

M 6964 Archaeopteryx lithographica, essai de restauration, d'après M. Owen.

M 6965 Lœlaps aquilunges, essai de restauration d'après M. Cope.

M 6966 Palmiers crétacés, deux fragments de froude, d'après M. de Saporta.

M 6967 Plantes crétacées caractéristiques (feuilles) d'après M. de Saporta.

M 6968 Plantes céno maniennes du quartz de Bohême, d'après M. de Saporta.

M 6969 Ammonites margaritatus.

M 6970 Libellule.

M 6971 Limites de la mer du Nord à la fin de la période crétacée, d'après M. Hebert, de l'Institut.

M 6972 Couches plissées du lias de Marvejols, d'après nature.

M 6973 Couches relevées de l'oolithe des bords du Lot, à Larnajolt, d'après nature.

M 6974 Couches coralliennes de Saulx-les-Tournelles (Arden nes).

M 6975 Vallée d'Arraees, Haut Aragon, exemple d'érosion.

M 6976 Ammonites bifrons, Belemnites pistilliformis, Ammonites humphriesianus Eschara ranvilliana.

M 6977 Empreintes de pas d'animal avec empreinte de goutte de pluie.

M 6978 Belemnites sulcatus, Plagiostoma giganteum ostrea Marshall.

M 6979 Le grand iguanodon du Musée de Bruxelles.

M 6980 Pterodactyle, restauration.

M 6981 Plesiosaure.

M 6982 Ichthyosaure restauration.

M 6983 Tête d'ichthyosaure photographiée au Muséum.

M 6984 Falaise de Boulogne-sur-Mer, jurassique supérieure.

M 6985 Le Pic de l'Aiguille Grande-Charleuse (calcaire jurassique).

- M 6986 Le Haut du Roc (Vosges), blocs granitiques erratiques sur le terrain secondaire.  
 M 6987 Filon de fluorine de Volleigne (Saône-et-Loire).  
 M 6988 Exploitation de craie phosphatée à Hardivillers (Oise).  
 M 6989 Bords du Cousin à Avallon (Yonne), granit surmonté de lias.  
 M 6990 Falaises crayeuses de Berneval (Seine-Inférieure).  
 M 6991 Hippurite.  
 M 6992 Ammonite du terrain crétacé.

### Epoque tertiaire

- M 6993 Coupe des terrains de l'époque tertiaire.  
 M 6994 Tableau des principaux fossiles de l'époque tertiaire.  
 1 Platax altissimus.  
 2 Mâchoire de l'alligator de l'île de Wight.  
 3 Cyclostoma Arnouldi.  
 4 Helix hemisphaerica.  
 5 Physa columnaris.  
 6 Cypraea elegans.  
 7 Limnea longiseata.  
 8 Cassis cancellata.  
 9 Cerithium hexagonum.  
 10 Laganum reflexum.  
 11 Nummulites levigata.  
 12 Nummulites planulata.  
 13 Strombus minimus.  
 14 Cardica planicosta.  
 15 Lebias cephalotes.  
 16 Caucor macrochellus.  
 17 Hela speciosa.  
 18 Ostrea longirostris.  
 19 Cerithium plicatum.  
 20 Helix Moroguesi.  
 21 Conus Mercati.  
 22 Carinaria Hugardi.  
 23 Andrias Scheuchzeri.  
 24 Tryonx ou tortue.  
 25 Cerithium giganteum.  
 26 Melania Cuvieri.  
 27 Dent de squalo.  
 28 Dent d'Oxyrhina xyphodon.  
 29 Dent de Carcharias productus.  
 30 Palaeotherium.  
 31 Tête de Dinotherium.  
 M 6995 Paysage idéal de la période éocène.  
 M 6996 " " miocène.  
 M 6997 " " pliocène.  
 M 6998 Bords d'un lac à l'époque des gypses d'Aix, vue idéale de M. le comte de Saporta.  
 M 6999 Vue idéale d'un paysage aquitainien aux alentours du lac de Manosque.  
 M 7000 Megatherium (restauration).  
 M 7001 Dinotherium.  
 M 7002 Cerithium giganteum.  
 M 7003 Tronc de palmier fossile.  
 M 7004 Mâchoire de Dinoceras mirabilis et de Loxolophodon cornutus.  
 M 7005 Vesperillo paricensis.  
 M 7006 Dinotherium, tête photographiée au Muséum de Paris.  
 M 7007 Tapir avernensis, tête photographiée au Muséum de Paris.  
 M 7008 Palaeotherium photographié sur place dans les carrières d'Ivry.  
 M 7009 Dinornis, squelette photographié au Muséum de Paris.  
 M 7010 Dinornis, et australien.  
 M 7011 Palaeotherium magnum, esai de restauration du squelette, par M. Alfred Gaudry.  
 M 7012 Mâchoire de Dinoceras mirabilis d'après M. Marsh.  
 M 7013 Mâchoire de Brontotherium ingens, Montagn. Rocheuscs, d'ap. M. Marsh.

- M 7014 Mastodonte (mâchoire moyen), esai de restauration d'après M. Albert Gaudry.  
 M 7015 Didelphys Cuvieri, gypse de Montmartre.  
 M 7016 Ichthium robustum, terrain de Pikermi.  
 M 7017 Hipparion gracile, terrain de Pikermi.  
 M 7018 Helladotherium, terrain de Pikermi.  
 M 7019 Tragocerus amalthus, terrain de Pikermi.  
 M 7020 Rhinoceros pachygnathus, terrain de Pikermi.  
 M 7021 Mesopithecus pentelici, terrain de Pikermi.  
 M 7022 Dryopithecus Fontani (mâchoire), tertiaire de Saint-Gaudens.  
 M 7023 Types de palmiers miocènes d'après M. de Saporta.  
 M 7024 Principaux types de palmiers aquitainiens et dernière cycadée européenne, d'après M. de Saporta.  
 M 7025 Plantes éocènes caractéristiques, d'après M. de Saporta.  
 M 7026 Anactomeria, genre éteint de nymphaeacée tertiaire, d'après M. de Saporta.  
 M 7027 Plantes miocènes caractéristiques (Armissan) types devenus exotiques, d'après M. de Saporta.  
 M 7028 Plantes miocènes caractéristiques (Armissan) types divers d'après M. de Saporta.  
 M 7029 Plantes tertiaires des régions arctiques, principaux types, d'après M. de Saporta.  
 M 7030 Plantes miocènes et pliocènes caractéristiques, d'après M. de Saporta.  
 M 7031 Tableau généalogique du hêtre européen.  
 M 7032 Pantes paléocènes de Sezanne, types devenus exotiques.  
 M 7033 Plantes paléocènes de Sezanne, types devenus indigènes.  
 M 7034 Dattier éocène des arkoses du Puy, fronde accompagnée d'un régime mâle, M. de Saporta.  
 M 7035 Balanites des phosphorites.  
 M 7036 Palaeodus flamant de Saint-Gérard.  
 M 7037 Lac de Saint-Gérard (reconstruction du Cainotherium).  
 M 7038 Lophodon rhinocerosides rutim.  
 M 7039 Trionyx ou tortue.  
 M 7040 Limiles de la Mer du Nord pendant la période du calcaire grossier inférieur d'après M. Hebert de l'Institut.  
 M 7041 Hemiptychus deshayesi du calcaire grossier de Pulcaux (Muséum).  
 M 7042 Dinoceras mirabile provenant de l'éocène moyen, Montagnes Rocheuses.  
 M 7043 Tête de Brontops robustus miocène américain.  
 M 7044 Le mont Leberon, route d'Apt (terrain tertiaire).  
 M 7045 Carrière de gypse à Soisy, près Montmorency.  
 M 7046 Carrière de gypse de Romainville (éocène supérieur).

### Epoque quaternaire

- M 7047 Vue idéale d'un paysage d'Amérique.  
 M 7048 Vue idéale d'un paysage d'Europe.  
 M 7049 Apparition de l'homme.  
 M 7050 Déluge asiatique.  
 M 7051 Coupe du bassin de Paris.  
 M 7052 Coupe de la caverne à ossements de Gailenreuth (Bavière).

- M 7053 Mammoth (*Elephas primigenius*) squelette.  
 M 7054 Glyptodon clavipes.  
 M 7055 Cerf d'Irlande, squelette photographié au Muséum de Paris.  
 M 7056 Rhinocéros tichorhinus, tête photographiée, au Muséum de Paris.  
 M 7057 Machaïrodus neogaeus, tête photographiée, au Muséum de Paris.  
 M 7058 Aurochs, squelette photographié, au Muséum de Paris.  
 M 7059 Bos primigenius, tête photographiée au Muséum de Paris.  
 M 7060 Ours des cavernes, squelette photographié au Muséum de Paris.  
 M 7061 Ours des cavernes, tête photographiée au Muséum de Paris.  
 M 7062 Megaltherium, tête photographiée au Muséum de Paris.  
 M 7063 Megaltherium, squelette photographié au Muséum de Paris.  
 M 7064 Typotherium, tête photographiée au Muséum de Paris.  
 M 7065 Squelette d'homme fossile découvert dans les cavernes du Baoussé-Rousse près Menton, photographié au Muséum de Paris.  
 M 7066 Squelette d'éléphant fossile trouvé à Durfort (Gard).  
 M 7067 Restauration de squelette d'éléphant fossile trouvé à Durfort (Gard).  
 M 7068 Endroit où a été trouvé le squelette fossile trouvé à Durfort (Gard).  
 M 7069 Caillou rayé du glacier des Posets. (Pyrénées espagnoles).  
 M 7070 Parois striées du défilé de Lourdes.  
 M 7071 Dépôt glaciaire du Boulou (Pyrénées Orientales).  
 M 7072 Couche pliocène surmontée par un dépôt glaciaire, même localité.  
 M 7073 Erosions produites par la pluie dans un dépôt glaciaire, Vallée de Saint-Paul, près Luchon.  
 M 7074 Bloc erratique, ancien glacier d'Oo, près Luchon.  
 M 7075 Bloc erratique, ancien glacier d'Oo, près Luchon.  
 M 7076 Bloc erratique, ancien glacier d'Oo, près Luchon.  
 M 7077 Bloc erratique, ancien glacier d'Oo, près Luchon.  
 M 7078 Bloc erratique, ancien glacier d'Oo, près Luchon.  
 M 7079 Bloc erratique, ancien glacier d'Oo, près Luchon.  
 M 7080 Bloc erratique, ancien glacier d'Oo, près Luchon.  
 M 7081 Bloc erratique au pont de Lapadé, Vallée du Lys, près de Luchon.  
 M 7082 Table glaciaire, ancien glacier de Saint-Paul.  
 M 7083 Mammoth restauré (musée de M. A. Word de Rochestér).  
 M 7084 Nouvelle galerie de Paléontologie du Muséum de Paris.  
 M 7085 Elephas meridionalis de Durfort.  
 M 7086 Glyptodon, squelette sans carapace.  
 M 7087 Mastodonte squelette.  
 M 7088 Quatre squelettes de Dinornis.  
 M 7089 Scelidothierium leptoccephalum (Amérique du Sud).  
 M 7090 Coupe de la Grotte et des oubliettes de Gargas.  
 M 7091 Les Bossons (Pierre pointue) terrain glaciaire.  
 M 7092 Moraine quaternaire de la Vallée du Chayoux (Vosges).

- M 7093 Polissoir antichronique de Glaudelles, près Nemours.

### Généralités

- M 7094 Coupe de l'écorce terrestre montrant la division en cinq époques.  
 M 7095 Coupe de l'écorce terrestre montrant la subdivision des époques en périodes.  
 M 7096 Coupe de terrains montrant la théorie des puits artésiens.

### Temps préhistoriques

- M 7097 Ensemble de dix pièces gravées et sculptées, Mammoth, bâton de commandement, ours des cavernes, tête de morse, tête de crocodile, pointe de lance, flèche, poinçon, manches de poignard.  
 M 7098 Bois de renne et silex travaillés, trouvés dans les cavernes du Périgord.  
 M 7099 Plaque de chiste gravée, gravure sur bois de cerf, gravure sur bois de renne, poignée de poignard.  
 M 7100 Reconstruction d'une cité lacustre, d'après M. Keller.  
 M 7101 Outils de l'âge de pierre, haches taillées et polies, pointe de javalot.  
 M 7102 Outils de l'âge de pierre, scies, et couteaux montés sur manche.  
 M 7103 Outils de l'âge de pierre. Herminette, marleau et lazso.  
 M 7104 Dolmen de Caranda, élévation et plan.  
 M 7105 Silex taillés, découverts dans la grotte de Duruthy.  
 M 7106 Flèche, point de lance, harpon en bois de cerf, harpon et hameçon en os.  
 M 7107 Aiguilles, amulettes, ornements, sifflets, pointes de flèches.  
 M 7108 Modèle d'ouagre romain, Musée de Saint-Gervais.  
 M 7109 Modèle de grande baliste, Musée de Saint-Gervais.  
 M 7110 Objets découverts dans les tourbières de Laybach.  
 M 7111 Objets préhistoriques trouvés dans la grotte de Cravanche.  
 M 7112 Grotte de Cravanche.  
 M 7113 Sépulture préhistorique découverte à Sablonnière (Aisne).  
 M 7114 Fragments de bois d'ursus, dents d'ursus, de squele.  
 M 7115 Fragments humains, poteries et silex.  
*Recueillis dans le département de l'Ille-et-Vilaine, par Foucault.*  
 M 7116 L'homme préhistorique.  
 M 7117 Lames et colliers, époques du Moustier (Moustières-les-Amiens).  
 M 7118 Six haches quaternaires de l'époque acheuléenne.  
 M 7119 Trois haches quaternaires de l'époque acheuléenne.  
 M 7120 Trois haches quaternaires de l'époque acheuléenne.  
 M 7121 Une hache quaternaire de l'époque acheuléenne.  
 M 7122 Cinq haches quaternaires de l'époque acheuléenne.  
 M 7123 Objets préhistoriques de la grande cité des Mares, lac de Genève.  
 M 7124 Sept silex taillés, trouvés en Amérique, dans la baie de Honduras et dans le Connecticut.  
 M 7125 Haches de pierres emmanchées des insulaires de l'Océan Pacifique, aiguilles et poinçons américains en os.

D'après les pièces de la collection de M. Georges Lecoq.

- M 7126 Plan du tertre de l'Alligator (vallée du Mississippi).  
 M 7127 Groupe de tertres sépulcraux en Amérique.  
 M 7128 Grand tumulus de Marietta (Ohio).  
 M 7129 Monolithes de Siennais, dans les îles Orkneys.  
 M 7130 Dolmen à Pullicondah, près Madras (Inde).  
 M 7131 Dolmen de Castle Weilen, en Irlande.  
 M 7132 Figures comparatives de l'os maxillaire inférieur chez l'homme et le singe, pl. 1.  
 M 7133 Figures comparatives de l'os maxillaire inférieur chez l'homme et le singe, pl. 2.  
 M 7134 Coupe de tumulus de Valloby (Danemark) et bracelet en or massif, bourse à l'intérieur.  
 M 7135 Renne au pâturage de la caverne de Thayingen (Suisse).  
 M 7136 Bloc de fer natif d'Ovifak.  
 M 7137 Dolmen de Peyrignagols (Aveyron), d'après nature.  
 M 7138 Dolmen de Peyrignagols (Aveyron), d'après nature.  
 M 7139 Dolmen de Lersac (Hérault).  
 M 7140 " de Vaour (Tarn).  
 M 7141 Restauration d'une habitation lacustre de la Suisse.
- M 6338 Bilobites, *Brachyphyllum gracile*.  
 M 6339 Algues, plantes diverses, fossiles.  
 M 6340 Les plus anciens animaux, Annélides, Néréides, Trilobites.  
 M 6341 Coquilles fossiles.  
 M 6342 Echinodermes, Crinoïdes.  
 M 6343 Mer de l'époque silurienne.  
 M 6344 Scorpion fossile trouvé en 1884 dans le terrain silurien.

### Age primaire

## LE MONDE AVANT LA CRÉATION DE L'HOMME

Par Camille FLAMMARION

### Le Commencement du Monde

- M 6310 Le système solaire.  
 M 6311 Grandeur comparée du Soleil et des principaux mondes de son système.  
 M 6312 La nébuleuse d'Orion.  
 M 6313 La nébuleuse du Lion.  
 M 6314 Formation d'anneaux nébuleux et origine des condensations planétaires.  
 M 6315 Saturne.  
 M 6316 Expérience de Plateau.  
 M 6317 Nébuleuse terrestre.  
 M 6318 La formation de l'atmosphère, première condensation des eaux.  
 M 6319 Premiers soulèvements de la croûte terrestre. Le granit.  
 M 6320 Empreintes fossiles de gouttes de pluie tombées il y a des millions d'années.  
 M 6321 Les premières îles.

### Age primordial

- M 6322 Développements progressifs de la flore et de la faune aux âges successifs.  
 M 6323 Tableau des êtres qui ont précédé l'homme.  
 M 6324 Unité organique et parenté organique.  
 M 6325 Arbre généalogique de la vie terrestre. La monère, œuf de mammifère. Premiers stades de la création d'un mammifère. Infusoires.  
 M 6327 Protoplasma recueilli dans les profondeurs de la mer.  
 M 6328 Association des monères.  
 M 6329 L'ascension de la vie.  
 M 6330 Diatomées et coquilles de la Craie.  
 M 6331 Protistes.  
 M 6332 L'hydre d'eau douce, Méduses, Polypes.  
 M 6333 Polypier du corail. Astéries.  
 M 6334 Amphioxus. Lamproie.  
 M 6335 Premiers terrains déposés sur le globe minéral primitif après son refroidissement.  
 M 6336 Ardoises portant des pétrifications.  
 M 6337 Collection de fossiles gravés dès 1751.

- M 6345 Epaisseurs comparatives des terrains géologiques.  
 M 6346 Coupe générale de l'écorce du Globe, en couleur, 8 francs.  
 M 6347 Coupe du puits artésien de Grenelle.  
 M 6348 Mode de formation des terrains de sédiment.  
 M 6349 Soulèvement des terrains de sédiment.  
 M 6350 Une carrière, coupes superposées.  
 M 6351 Soulèvement et inclinaison.  
 M 6352 Coupe de la vallée de la Seine.  
 M 6353 Ondulations et fractures de l'écorce terrestre.  
 M 6354 Fractures simples et dénivellation.  
 M 6355 Couches relevées et flons.  
 M 6356 L'embouchure de la Seine.  
 M 6357 L'embouchure de la Seine il y a 500 ans.  
 M 6358 Le cap de la Ilève.  
 M 6359 Falaise méditerranéenne.  
 M 6360 Falaise de l'Océan.  
 M 6361 L'embouchure du Rhône.  
 M 6362 Golfe d'Aiguemortes, retiré de la mer.  
 M 6363 Diminution graduelle de la mer à l'embouchure du Pô.  
 M 6364 Diminution graduelle de la mer à l'embouchure du Tibre.  
 M 6365 Diminution graduelle de la mer à l'embouchure du Nil.  
 M 6366 Diminution graduelle du lac de Genève à l'embouchure du Rhône.  
 M 6367 Le mont Saint-Michel.  
 M 6367 bis La baie du mont Saint-Michel aux hautes et basses mers.  
 M 6368 Envahissement de la mer, Normandie et Bretagne.  
 M 6369 Submersion de la ville d'Ilis.  
 M 6370 Villages de Zelande engloutis sous l'irruption de la mer.  
 M 6371 Envahissement de la mer à la pointe de Grave.  
 M 6372 Le phare de Cordouan au xiv<sup>e</sup> siècle.  
 M 6373 Le phare de Cordouan aujourd'hui.  
 M 6374 Envahissement de la mer, église de Reculver 1731.  
 M 6375 Envahissement de la mer, église de Reculver 1831.  
 M 6376 Villages ensevelis sous les dunes.  
 M 6377 Paris sous les eaux.  
 M 6378 Soulèvements et affaissements constatés et sués.  
 M 6379 Carte générale des soulèvements et affaissements.  
 M 6380 Le détroit de Gibraltar, autrefois et aujourd'hui.  
 M 6381 Vue à vol d'oiseau des chutes du Niagara.  
 M 6382 La Seine aux temps préhistoriques.  
 M 6383 La Seine sur l'emplacement de Paris, aux temps préhistoriques.  
 M 6384 La Tempête.  
 M 6385 Le tremblement de terre.  
 M 6386 Une île de coraux.  
 M 6387 Les principaux habitants de la Terre pendant la période dévonienne.  
 M 6388 Mollusques de la période dévonienne.  
 M 6389 Les premiers insectes ailés fossiles.

- M 6390 Les premières forêts période dévonienne.  
 M 6391 La nébuleuse solaire vue de la Terre.  
 M 6392 Arbres fossiles trouvés debout dans les houillères des mines de St-Etienne.  
 M 6393 Arbres fossiles trouvés à 517 mètres de profondeur dans les mines d'Anzin.  
 M 6394 Mine de houille du Creuzot et de Montpanin.  
 M 6395 Coupe de terrains houillers à Saint-Gervais et à Fins.  
 M 6396 Coupe de terrains houillers à Montceau-les-Mines.  
 M 6397 Forêt de l'époque carbonifère.  
 M 6398 Forêt de l'époque carbonifère.  
 M 6399 Arbre généalogique du règne végétal.  
 M 6400 Les arbres géants de la période carbonifère.  
 M 6401 Rampeaux, écorces et plantes fossiles.  
 M 6402 Un paysage de l'époque houillère.  
 M 6403 Insectes de l'époque carbonifère.  
 M 6404 Mollusques de la période permienne.  
 M 6405 Poissons de la période permienne.  
 M 6406 Les premiers batraciens, Raniceps de Lyeil.  
 M 6407 Empreintes de pas laissés par le chirothérium.  
 M 6408 Têtes de labyrinthodontes Archégosaure et mastodontosaure.  
 M 6409 Restes fossiles du protitron petrolei.  
 M 6410 Les labyrinthodontes.

### Age secondaire

- M 6411 Paysage de l'époque triasique.  
 M 6412 Végétaux de la période triasique.  
 M 6413 Mines de sel de Wieliczka, en Pologne.  
 M 6414 Huîtres et ammonites fossiles de la période triasique.  
 M 6415 Les ammonites des mers triasiques.  
 M 6416 Crustacés de la période triasique.  
 M 6417 Poisson de la période triasique, Le Ceratodus.  
 M 6418 Les habitants de la période triasique.  
 M 6420 Scène de la période jurassique. Ichthyosaure, plésiosaure, ptérodactyle.  
 M 6421 Emersion du sol de la Manche à la fin de la période jurassique et ses habitants.  
 M 6422 La France et l'Angleterre à la fin.  
 M 6423 Tête, squelette et dent d'ichthyosaure.  
 M 6424 Le Dicynodont et le Zanglodon.  
 M 6425 Squelette de plésiosaure.  
 M 6426 Restauration probable de l'atlantosaure.  
 M 6427 Squelettes de brontosaurus et de l'iguanodon.  
 M 6428 L'iguanodon et le mégalosaurus dans une forêt de l'époque jurassique.  
 M 6429 Le ramphorynque et le ptérodactyle.  
 M 6430 Le stégosaure et le composonote.  
 M 6431 Ptérodactyle et chauve-souris.  
 M 6432 L'archéoptéryx.  
 M 6433 Libellule fossile, période jurassique.  
 M 6434 Terrains jurassiques. Calvados, Langres et Tonnerre.  
 M 6435 La seiche bélemnite.  
 M 6436 Gursins, mollusques, crinoïdes fossiles de la période jurassique.  
 M 6437 Jura, Franche-Comté et Bourgogne à l'époque de la mer jurassique.  
 M 6438 Arbre généalogique du règne végétal.  
 M 6439 Bords de la mer pendant la période jurassique.  
 M 6440 Fragment de craie vu au microscope.

- M 6440 Une forêt aux premiers siècles de la période crétacée.  
 M 6441 Fossiles des terrains crétacés, ammonites, célanites, céphalopodes.  
 M 6442 Les oiseaux à dents de la période crétacée.  
 M 6443 Paysage végétal de la période crétacée.

### Age tertiaire

- M 6444 Tableau général des terrains parisiens.  
 M 6445 Correspondance entre le développement du règne animal et la succession des époques géologiques.  
 M 6446 Poissons de la période éocène.  
 M 6447 Restes fossiles d'oiseaux trouvés à Montmartre.  
 M 6448 Le grand paléothérium.  
 M 6449 Xiphodon gracile et l'anoplotherium.  
 M 6450 Le dinocéros (période éocène).  
 M 6451 Carte montrant l'étendue de la surface couverte par la mer depuis le début de la période éocène.  
 M 6452 Les volcans français pendant la période miocène.  
 M 6453 L'Europe centrale pendant la période miocène.  
 M 6454 Paysage de la période miocène à Lausanne.  
 M 6455 Insectes fossiles de la période miocène.  
 M 6456 L'homme témoin du déluge.  
 M 6457 Paysage de la période miocène en France.  
 M 6458 Le mastodonte.  
 M 6459 Singes de la période miocène.  
 M 6460 Squelette fossile du mégathérium (période pliocène).  
 M 6461 Le mylodon.  
 M 6462 Habitants de la Grèce, de la Suisse, de la Provence, premiers siècles de l'époque pliocène.  
 M 6463 Squelette fossile du mastodonte.  
 M 6464 Le sivathérium, cerf colosse (temps pliocènes).  
 M 6465 Squelette de l'hipparion, ancêtre probable du cheval.  
 M 6466 Extension des glaciers des Alpes jusqu'à Lyon et le Mâconnais.  
 M 6467 Mammoulli retrouvé au milieu des glaces de la Sibérie avec sa chair et ses os.  
 M 6468 Cerf à bois gigantesque.  
 M 6469 Mammouth.  
 M 6470 Les contemporains de l'homme primitif.  
 M 6471 Le mégalonxyx.  
 M 6472 Le glyptodon.  
 M 6473 Squelettes comparés de l'orang, du chimpanzé, du gorille et de l'homme.  
 M 6474 Singes cercopithèques en maraude.  
 M 6475 Le semnopitèque et le gibbon ou gorille.  
 M 6476 Main de gorille.  
 M 6477 Les circonvolutions du cerveau et l'intelligence.  
 M 6478 Les races primitives actuelles.  
 M 6479 Anthrophages de l'Afrique centrale.  
 M 6480 Boschimans à la chasse.  
 M 6481 L'homme fossile de Menton.  
 M 6482 Ressemblances humaines et animales.  
 M 6483 Ressemblances humaines et animales.  
 M 6484 Ressemblances humaines et animales.  
 M 6485 Ressemblances humaines et animales.



## Les mystères de l'Océan

PREMIÈRE PARTIE

### Histoire de l'Océan

- M 17809 L'Océan.  
 M 17810 Lumière magnéto-électr. sur l'Océan Universel.  
 M 17811 Soulèvements ploutoniens au sein de l'Océan.  
 M 17812 Le Delta du Nil.  
 M 17813 Inondation par la marée sur la côte du Danemark.  
 M 17814 Carte des courants.  
 M 17815 Fucus natans.  
 M 17816 Sargassum (fucus bacciferus).  
 M 17817 L'Astrolabe et la Zélee dans les glaces du pôle antarctique.  
 M 17818 La proroca de T'sien-Tsang.  
 M 17819 Les canots de l'Archimède au milieu des troncs d'arbres.  
 M 17820 Trombe marine.

### Cartes géologiques

- M 16154 Carte de l'Europe.  
 M 16155 " l'Asie.  
 M 16156 " l'Afrique.  
 M 16157 " l'Amérique du Nord.  
 M 16158 " " du Sud.  
 M 16159 " l'Australie.  
 M 15721 Carte géologique de la France.  
 M 15722 " " de l'Europe.  
 M 15723 " de la France terrains primitifs.  
 M 15724 " " nier Silurienne.  
 M 15725 " " terrains primitifs primaires et triasiques.  
 M 15726 Carte de la formation graduelle. France terrains primitifs primaires, triasiques et jurassiques.  
 M 15727 Carte de formation graduelle des terrains, France, terrains primitifs, primaires et secondaires.

### Paysages antédiluviens

- M 15728 Une forêt de l'époque carbonifère.  
 M 15729 Scène du monde primitif pendant la période secondaire.  
 M 15730 Paysage d'Europe à l'époque tertiaire.  
 M 15731 Combat de mammoullis et de chats géants.  
 M 15732 Epoque de l'ours des cavernes.

### Panorama du monde antédiluvien

- M 15733 Panorama du monde antédiluvien.  
 M 15734 Monde antédiluvien  
 M 15735 " "  
 M 15736 " "  
 M 15737 " "  
 M 15738 " "

### Extrait des études paléocéthnologiques dans le bassin du Rhône. — Premier âge du fer, par M. Ernest CHANTRE.

- M 16681 Fibules, boutons, collier en perles de bronze et d'ambre, nécropole de Peyre-Haute (Hautes-Alpes).  
 M 16682 Chaines, bracelets, etc... en bronze et ambre, nécropole de Peyre-Haute (Hautes-Alpes).  
 M 16683 Collier en chaîne et bracelets en bronze et ambre, nécropole de Peyre-Haute. (Hautes-Alpes).  
 M 16684 Collier fait de pendeloques dites crotales, boutons, bracelets et appliques en bronze (Hautes-Alpes).  
 M 16685 Torques, bracelets et fibules, en bronze (Hautes-Alpes).

- M 16686 Bracelets en bronze. Tumulus de Perpin (Basses-Alpes).  
 M 16687 Fibules, bagues et objets divers en bronze, nécropole de la vallée de Barcelonnette (Basses-Alpes).  
 M 16688 Chaines et fibules en bronze, nécropole de la vallée de Barcelonnette (Basses-Alpes).  
 M 16689 Bracelets en bronze et collier en perles d'ambre, cimetière de Saint-Jean-de-Belleville (Savoie).  
 M 16690 Pendeloques et plaques de ceinture en bronze, Tumulus de Chilly Jura.  
 M 16691 Torques en bronze, Tumulus de Servigny (Doubs).  
 M 16692 Fibules, bracelets, etc... en bronze, Tumulus d'Amancey (Doubs).  
 M 16693 Fibules, pendeloques et bracelets br., Tumulus d'Amondans (Doubs).  
 M 16694 Plaques de ceintures en feuilles de bronze estampées, Tumulus d'Amondans (Doubs).  
 M 16695 Epée en fer, bracelets et fibules en bronze, Tumulus de Saraz et d'Alaise (Doubs).  
 M 16696 Ceinture en bronze. Tumulus de Cademène (Doubs).  
 M 16697 Bracelets et pendeloques en bronze. Tumulus d'Ige (Saône-et-Loire).  
 M 16698 Bracelets à spirales et vases en bronze, Tumulus de Magny-Lambert (Côte-d'Or).  
 M 16699 Seau ou siste à cordon, pendeloques et rasoirs en bronze, Tumulus de Magny-Lambert (Côte-d'Or).  
 M 16700 Urnes cinéraires, Tumulus d'Avezac (Hautes-Pyrénées).  
 M 16701 Silex taillés des couches tertiaires, Tumulus près de Lisbonne.  
 M 16702 Sépulture d'incinérés, Tumulus d'Avezac (Hautes-Pyrénées).  
 M 16703 Armes, Tumulus d'Avezac (Hautes-Pyrénées).  
 M 16704 Torques, diadèmes et fragments, Tumulus d'Avezac (Hautes-Pyrénées).  
 M 16705 Fibules, Tumulus d'Avezac (Hautes-Pyrénées).  
 M 16706 Flèches en silex du Japon, haches en pierre dure du Cambodge.  
 M 16707 Armes et pièces diverses, type de l'âge du bronze (groupe méditerranéen).  
 M 16708 Armes et pièces diverses, type de l'âge du bronze (groupe méditerranéen et danubien).  
 M 16709 Armes et pièces diverses, type de l'âge du bronze (groupe danubien).  
 M 16710 Armes et pièces diverses, type de l'âge du bronze (groupe danubien et crélien).  
 M 16711 Sistes japonais actuels.  
 M 16712 Saint boudhique siste de syva, siste en bronze des Palafittes de l'âge du bronze.  
 M 16713 Prêtre boudhique de Cochinchine.  
 M 16711 Siste et Swastika des palafittes du Bourget.

### M 16677 Palmier fossile.

- M 16807 " "  
 M 16808 " "  
 M 16809 " "  
 M 16810 " "

### Extrait de la monographie géologique des anciens glaciers du Rhône, par MM. FALSAN et CHANTRE.

- M 7142 Quatre blocs erratiques du glacier de l'Isère, environs de Tullins (Isère).



- M 7143 Quatre blocs erratiques du glacier de l'Isère, moraines des gorges de Thodure (Isère).
- M 7144 Quatre blocs erratiques du grand glacier du Rhône et de l'Arve (Culoz-Nantual).
- M 7145 Quatre blocs erratiques du glacier quaternaire de la vallée de l'Isère (Savoie).
- M 7146 Squelette humain de l'époque Hallstattienne ou premier âge du fer, cimetièrre de Peyre-Haute (Hautes-Alpes).
- M 7147 Squelette d'éléphant du Lehm de Lyon (Elephas intermedius, Muséum de Lyon).
- M 7148 Pointes de flèches en silex et collier en gallet, époque néolithique (sepulture de la Balme) (Isère).
- M 7149 Haches et ciseaux en pierre avec manche en bois de cerf, palafites de l'époque néolithique, lac de Neuchâtel, Muséum de Lyon.
- M 7150 Haches en pierre des néo-calédoniens de l'époque actuelle.
- M 7151 Crânes déformés dits macrocéphales, Tumulus de Corveissiat (Ain), premier âge du fer.
- M 7152 Crânes déformés dits macrocéphales, Nécropole de Samthavo, près Tidlis (Muséum de Lyon).
- M 7153 Balenu préhistorique découvert à Brigg (Angleterre).
- M 7154 Polissoir préhistorique du gué de Beau-Moulin.
- M 7155 Empreinte d'un pied humain au Nicaragua.
- Roches photographiées au microscope**
- M 4776 Obsidienne globulifère, pic de Ténériffe, recueillie par M. Bailly.
- M 4777 Obsidienne noire cellulaire, île de Lipari, recueillie en 1840, par Ami Boni.
- M 4778 Obsidienne smaltoïde, coulée de la Castagna, île de Lipari, recueillie en 1832, par Constant Prévost.
- M 4779 Serpentine aurifère, près Santa-Ricla, île de Cuba, recueillie par M. d'Aro-revema.
- M 4780 Fer untif d'Ovifak, Groenland.
- M 4781 Météorite d'Ornans, tombée le 11 juillet 1868, à Ornans (Doubs).
- M 4782 Météorite de Saint-Mesmin, tombée le 29 mai 1868, à Saint-Mesmin (Aube).
- M 4783 Météorite de Sétif, tombée le 9 juin 1867, à Sétif (Algérie).
- M 4784 Fer météorique de Charcas (Mexique), surface polie attaquée par le bichlorure de mercure en solution concentrée et bouillante.
- M 4785 Le même, attaqué par une solution concentrée et froide.
- M 4786 Roche de Saint-Front, Commentry, houillères embrasées, 1<sup>er</sup> échantillon.
- M 4787 Roche de Saint-Front, Commentry, houillères embrasées, 2<sup>e</sup> échantillon.
- M 4788 Roche de Saint-Front, Commentry, houillères embrasées, 3<sup>e</sup> échantillon.
- M 4789 Roche de Saint-Front, Commentry, houillères embrasées, 4<sup>e</sup> échantillon.
- M 4790 Roche de Saint-Front, Commentry, houillères embrasées, 5<sup>e</sup> échantillon.
- M 4791 Roche de Saint-Front, Commentry, houillères embrasées, 6<sup>e</sup> échantillon.
- M 4792 Roche de Saint-Front, Commentry, houillères embrasées, 7<sup>e</sup> échantillon.
- M 4793 Roche de Sainte-Aline, Commentry, phot. en lumière polarisée, 1<sup>er</sup> éch.
- M 4794 Roche de Sainte-Aline, Commentry, phot. en lumière polarisée, 2<sup>e</sup> éch.
- M 4795 Roche de Sainte-Aline, Commentry, phot. en lumière polarisée, 3<sup>e</sup> éch.
- M 4796 Roche de Sainte-Aline, Commentry, phot. en lumière polarisée, 4<sup>e</sup> éch.
- M 4797 Roche de Sainte-Aline, Commentry, phot. en lumière polarisée, 5<sup>e</sup> éch.
- M 4798 Roche de Sainte-Aline, Commentry, phot. en lumière polarisée, 6<sup>e</sup> éch.
- M 4799 Roche de Sainte-Aline, Commentry, phot. en lumière polarisée, 7<sup>e</sup> éch.
- M 4800 Roche de Sainte-Aline, Commentry, phot. en lumière polarisée, 8<sup>e</sup> éch.
- M 4801 Roche de Sainte-Aline, Commentry, phot. en lumière polarisée, 9<sup>e</sup> éch.
- M 4802 Roche de Sainte-Aline, Commentry, phot. en lumière polarisée, 10<sup>e</sup> éch.
- M 4803 Dioritine, photographiée en lumière polarisée, 1<sup>er</sup> échantillon.
- M 4804 Dioritine, photographiée en lumière polarisée, 2<sup>e</sup> échantillon.
- M 4805 Dioritine de Commentry, en lumière polarisée, 1<sup>er</sup> échantillon.
- M 4806 Dioritine de Commentry, en lumière polarisée, 2<sup>e</sup> échantillon.
- M 4807 Dioritine de Commentry, en lumière polarisée, 3<sup>e</sup> échantillon.
- M 4808 Dioritine de Commentry, en lumière polarisée, 4<sup>e</sup> échantillon.
- M 4809 Dioritine de Commentry, en lumière polarisée, 5<sup>e</sup> échantillon.
- M 4810 Dioritine de Commentry, en lumière polarisée, 6<sup>e</sup> échantillon.
- M 4811 Dioritine de Commentry, en lumière polarisée, 7<sup>e</sup> échantillon.
- M 4812 Dioritine de Commentry, en lumière polarisée, 8<sup>e</sup> échantillon.
- M 4813 Dioritine de Commentry, en lumière polarisée, 9<sup>e</sup> échantillon.
- M 4814 Dioritine de Commentry, en lumière polarisée, 10<sup>e</sup> échantillon.
- M 4815 Dioritine de Commentry, en lumière polarisée, 11<sup>e</sup> échantillon.
- M 4816 Dioritine de Commentry, en lumière polarisée, 12<sup>e</sup> échantillon.
- M 4817 Dioritine de Commentry, en lumière polarisée, 13<sup>e</sup> échantillon.
- M 4818 Dioritine de Commentry, en lumière polarisée, 14<sup>e</sup> échantillon.
- M 4819 Dioritine de Commentry, en lumière polarisée, 15<sup>e</sup> échantillon.
- M 4820 Dioritine de Commentry, en lumière polarisée, 16<sup>e</sup> échantillon.
- M 4821 Dioritine de Commentry, en lumière polarisée, 17<sup>e</sup> échantillon.
- M 4822 Dioritine de Commentry, en lumière polarisée, 18<sup>e</sup> échantillon.
- M 4823 Dioritine de Commentry, en lumière polarisée, 19<sup>e</sup> échantillon.
- M 4824 Dioritine de Commentry, en lumière polarisée, 20<sup>e</sup> échantillon.
- M 4825 Dioritine de Commentry, en lumière polarisée, 21<sup>e</sup> échantillon.
- M 4826 Dioritine de Commentry, en lumière polarisée, 22<sup>e</sup> échantillon.

Voir aussi Catalogue spécial, n° 108, des Photomicrographies pour Projection.

### Mines et exploitations

- M 15479 Exploitation à ciel ouvert de la mine de fer de Mokta.
- M 15480 Exploitation du diamant du Cap.
- M 15481 " du bitume.
- M 15482 Puits de pétrole en Amérique.
- M 15483 Citernes à pétrole en Amérique du Nord.
- M 15484 Gisement de Moatige.

- M 15485 Affleurement du grand filon quartz, axe du faisceau des mines aurifères du Sud de la Californie.
- M 19685 Remonte des ouvriers.
- M 19686 Visite des appareils du puits.
- M 19687 Réparation du guidage, la prise des mesures.
- M 19688 Réparation du guidage, consolidation.
- M 19689 Descente des bois.
- M 19690 Les Chevaux.
- M 19691 Le Rouleur, formation d'un train.
- M 19692 Le Rouleur, berline arrêtée par la chute d'une traverse.
- M 19693 Le Rouleur, accrochage de la berline au câble.
- M 19694 Le Rouleur, déraillement d'une berline.
- M 19695 Le Rouleur et le surveillant.
- M 19696 Le Chargement.
- M 19697 Visite des Travaux.
- M 19698 Le Havage.
- M 19699 Le Havage, le mineur armé de sa riveline.
- M 19700 Le Havage, placement d'une perforatrice.
- M 19701 Voie de fond.
- M 19702 Un Chantier (Abatage).
- M 19703 Détermination du prix d'abatage.
- M 19704 Le Briquet.
- M 19705 baumer le terrain.
- M 19706 Le Boiseur.
- M 19707 Boisage, ouvrier préparant le " potin ".
- M 19708 Boisage (suite).
- M 19709 Forage des trous de mine.
- M 19710 Le Porteur de lampes.
- M 19711 Le Boute-Feu.
- M 19712 Le Grison.
- M 19713 La Pompe.
- M 19714 Sondeuse au diamant.
- M 19715 Lever de plans.
- M 19716 La Faille.
- M 19717 Etude des terrains par les Ingénieurs d'après un échantillon.
- Causses et Roches basaltiques**
- M 10495 Sannois près Paris, description géologique et technique de la série des couches.
- M 10496 Cap Fréchet, environs de Dinard.
- M 10497 " " "
- M 16120 Gorges du Tarn, Castelbouc.
- M 16127 Saint-Chély du Tarn.
- M 16128 Les gorges du Tarn. La Caze.
- M 16129 " Entrée du détroit.
- M 16130 " Milieu du détroit.
- M 16131 " Milieu du détroit.
- M 16132 " Sortie du détroit.
- M 16133 " L'Escayon.
- M 16134 " Cirque des Baumes.
- M 16135 Les gorges du Tarn. Cirque des Baumes.
- M 16136 Les gorges du Tarn. Pas des Soucis, l'Aiguille.
- M 16137 Les gorges du Tarn. Entrée du Pas des Soucis (en amont).
- M 16138 Les gorges du Tarn. Le Pas des Soucis (La Sourde).
- M 16139 Les gorges du Tarn. Perte du Tarn.
- M 16140 " Perte du Tarn.
- M 16141 " Le Pas des Soucis (entrée en aval).
- M 16142 Les gorges du Tarn. L'Ironnelle.
- M 10501 Cirque des Baumes.
- M 10507 Le Pas des Soucis, au fond le cirque des Baumes.
- M 10502 Les Baumes Vieilles, à gauche le cirque des Baumes.
- M 10503 Pont de la Baume.
- M 10506 Les Baumes de Montbrul.
- M 10514 Sainte Enimie, à gauche le causse de Sauveterre, à droite le causse Mejan.
- M 16143 Marvejois, porte fortifiée.
- M 16144 Vallée du Trévesel.
- M 16145 Bramabiau, entrée du tunnel.
- M 16146 " sortie du tunnel.
- M 16147 " l'Aleôve.
- M 16148 " la sortie, 2<sup>e</sup> cascade
- M 17007 Bramabiau, vue d'ensemble.
- M 17098 " entrée du tunnel supérieur.
- M 17009 Bramabiau, intérieur du tunnel supérieur.
- M 17100 Bramabiau, cascade à la sortie.
- M 16117 Montpellier-le-Vieux. Cirque des Rouquettes.
- M 16118 Montpellier-le-Vieux. Cirque des Rouquettes.
- M 16119 Montpellier-le-Vieux. L'Echiquier.
- M 16120 " Cirque de la Millière (la sortie).
- M 16121 Montpellier-le-Vieux. Porte de Mycéènes.
- M 16122 " La Quille.
- M 16123 " Le Champignon.
- M 16124 " La Citadelle.
- M 16125 " L'Amphore.
- M 17108 " Vue d'ensemble.
- M 17109 " La Citadelle.
- M 17110 " Détail de la Citadelle.
- M 17111 Montpellier-le-Vieux. Cirque du Lac.
- M 17112 " La Baignoire du Diabie.
- M 17113 Montpellier-le-Vieux. Dans le Cirque du Lac.
- M 17114 Montpellier-le-Vieux. L'Oulo ou roc Barbeyrac.
- M 17115 Montpellier-le-Vieux. Chaos dans la ville.
- M 17116 Montpellier-le-Vieux. Remparts.
- M 17117 " Tour de défense.
- M 17118 " Entrée du Parc.
- M 16503 " Cirque des amats.
- M 10504 " La Citadelle au bord du Larzac.
- M 17119 Montpellier-le-Vieux. Dans le Parc.
- M 17120 " Grotte du Parc.
- M 17121 " Rue Droite.
- M 17122 " Petite Rue.
- M 17123 " Grande Rue.
- M 17124 " Boulevard des Obélisques.
- M 17125 Montpellier-le-Vieux. Hutte de charbonnier.
- M 17126 Montpellier-le-Vieux. Roc du corbeau.
- M 17127 " Une aiguille.
- M 17128 " Vomitorium du Cirque des Rouquettes.
- M 17129 Montpellier-le-Vieux. Cirque des Mattes.
- M 17130 " Cirque des Mattes
- M 17131 " salle du Trône.
- M 17132 Montpellier-le-Vieux. Porte de Mycéènes.
- M 17133 " La Tribune aux harangues.
- M 17133 Montpellier-le-Vieux. Vue sur Roque-salles.
- M 17134 Montpellier-le-Vieux. Obélisque du Monna.
- M 17136 Saint-Véran. Ruines du château.
- M 17137 " Sous le château.
- M 17138 " Chaos.
- M 10498 Bois de Palolive, le tombeau, rocher montrant les stries verticales produites par l'érosion.
- M 10499 Bois de Palolive, la chapelle St-Eugène et le Chassezac avec les ruines et la falaise de Cormillon.



### Accidents du sol. — Phénomènes et Curiosités de la nature

- M 7171 Formes des nuages.  
M 7161 Spectre d'Ulloa.  
M 7158 Spectre du Brocken.  
M 7159 Fala Morgana.  
M 7202 Une vague irrandescente.  
M 7203 Gerbe de lumière verticale observée à Kuitala (Laponie).  
M 7229 Effet de lumière sur le Barioud (Piémont).  
M 7216 Lumière verticale observée pendant une aurore boréale, en Laponie.  
M 7181 Aurore boréale observée à Brevillepont (25 septembre 1731).  
M 7182 Aurore boréale dans l'Alaska (27 décembre 1865).  
M 7218 Aurore boréale observée par M. Lems-trom.  
M 7178 Aurore polaire de Paris (4 février 1872).  
M 7170 Aurore boréale.  
M 7157 Chaussée des Géants.  
M 7162 Aiguilles basaltiques de l'île de Sainte-Hélène.  
M 7165 Rochers du Japon creusés par la mer.  
M 7166 Rochers du Japon percés par la mer.  
M 7183 La pierre d'Agassiz.  
M 7168 La roche percée de la baie de Gaspée.  
M 7190 Roche percée de Biarritz.  
M 7179 Les rochers du Cap Gris-Nez.  
M 7180 Les falaises du Cap Blanc-Nez.  
M 7191 Falaises à jour d'Étretat, montrant la stratification des couches.  
M 7176 Les rochers d'Étretat.  
M 7177 Ile Palmaria (couches tertiaires).  
M 7173 Le Buffadero, jet d'eau sur la côte du Mexique.  
M 7174 Mines de sel de Wieliczka en Pologne.  
M 7184 Les dames de la Meuse.  
M 7185 Le Mont-Blanc vu du Brévent.  
M 7186 La mer de Glace du Montanvert.  
M 7222 Limite des neiges éternelles sur les différentes montagnes.  
M 7223 L'avalanche.  
M 7187 Glacier du Rhône, vue générale.  
M 7163 Table des glaciers.  
M 7156 Grotte de Fingal.  
M 7188 Grotte de l'Aveyron.  
M 7229 bis Grotte de Brando (Corse).  
M 7221 Grotte de Dargitan.  
M 7167 Grottes d'Antiparos.  
M 7189 Cascade de Terni.  
M 7205 Entrée de Mammoth cave (Etats-Unis).  
M 7206 Intérieur de Mammoth cave.  
M 7207 Intérieur d'une source ancienne d'eau bouillante.  
M 7208 Le Geyser Old Faithfull. } Yellowstone  
M 7209 Cascade pétrifiée. } Park (Et. U.).  
M 7160 Cascade pétrifiée.  
M 7164 Fontaine intermittente.  
M 7192 Fontes vagues.  
M 7169 Trombe marine.  
M 7215 Un coup de vent du Nord-Ouest au Havre.  
M 7225 Coupe supposée d'un cyclone.  
M 7226 Carte de la marche de plusieurs cyclones.  
M 7227 Navires fuyant le centre du cyclone.  
M 7228 Roses des tempêtes.  
M 7190 Le mascaret à Caudébec.  
M 15713 " à Villequier.  
M 10510 Embâcles de la Loire, vue d'ensemble.  
M 10541 " " vue de près.  
M 10542 " " détail des blocs de glace.  
M 10513 Embâcles de la Saône.  
M 10544 La mer de glace sur la Saône, entièrement prise.  
M 10545 La mer de glace sur la Saône, prise en partie.

### Volcans, tremblements de terre et accidents qui s'en suivent

- M 5654 Carte de l'île Saint-Paul.  
M 5655 Ile de la Réunion ; l'enclos et le Piton Bory (cratère éteint).  
M 5656 Ile Saint-Paul et coupe du cratère.  
M 5657 Ile de la Réunion : Volcan « Le Grand Brûlé ».  
M 5658 Plateau basaltique et marécageux au sommet de l'île Amsterdam.  
M 5659 Etudes de laves : Leucite et Néphéline.  
M 5660 " Lave de l'Alaska.  
M 5661 " Cristaux extraits des ponces.  
M 5662 Etudes de laves : Lave de Kilauéa.  
M 5663 " Lave de l'Arso.  
M 5664 " Lave de l'Épéméo.  
M 5665 Ile de la Réunion : Forêt Vierge avant l'éruption du Grand Brûlé.  
M 5666 Andésites (Krakatoa).  
M 5667 Ponces de Krakatoa.  
M 5668 Obsidienne (Krakatoa).  
M 5669 Magnétite dans la lave de l'Alaska.  
M 5670 Vue de l'Etna.  
M 5671 L'Etna vu de loin.  
M 5672 L'Etna : Revers du cratère de l'éruption de 1865.  
M 5673 L'Etna : Arbres engloutis dans la lave.  
M 5674 " Fissure de l'éruption.  
M 5675 " Eruption de 1879.  
M 5676 " Eruption de 1879.  
M 5678 " Eruption de 1879. Vue d'ensemble.  
M 5677 L'Etna : Coulée de lave.  
M 5678 " Cratère.  
M 5679 " Carte de l'Etna.  
M 5680 Versant oriental de l'Etna.  
M 5681 Cratère de l'Etna.  
M 5682 Iles Hawaï : Coulée de lave.  
M 5683 " Vue du courant de laves.  
M 5684 " Coulée de lave arrivant dans un lac.  
M 5685 Iles Hawaï : Coulée de lave à l'entrée du Kilauéa.  
M 5686 Iles Hawaï : Lac permanent de lave en fusion, Kilauéa.  
M 5687 Iles Hawaï : Falaises de lave, lac du Sud.  
M 5688 Iles Hawaï : Coulée de lave.  
M 5689 " Vue du lac du Kilauéa.  
M 5690 " Coulée de 1886.  
M 5691 " Montée vers le Kilauéa, avec grotte de lave au centre.  
M 7201 Le cratère de Kilauéa pendant une éruption.  
M 7200 Eruption du Manno-Ioa.  
M 5692 Lac de lave du Manno-Ioa.  
M 5693 Banc de soufre du Manno-Ioa.  
M 5694 Cascade de lave, Hilo Hawaï.  
M 5695 Cascade de lave. " "  
M 5696 Krakatoa : Vue du village Telok Belong, avant la catastrophe.  
M 5697 Krakatoa : Vue du village de Telok Belong, après la catastrophe.  
M 5698 Ile de Krakatoa à 4 milles dans le Nord-Ouest.  
M 5699 Vue de Krakatoa dans l'Ouest, montrant la face Nord où s'est produit l'effondrement.  
M 5700 Carte du cercle de Bantam.  
M 5701 Carte éboulement, Sébésie.  
M 5702 Carte du cercle d'éruption des cendres de Krakatoa.  
M 5703 Carte d'ébranlement du Krakatoa.  
M 5704 Java : 1<sup>re</sup> pointe.  
M 5705 " Vue de la station postale et télégraphique de Merack emportée par le raz de marée du 27 août 1883.

- M 5706 Java : Éruption du volcan Gounoung (Karang).
- M 5707 Java : Le volcan Gounoung-Gountour. Résidence de Garout.
- M 5708 Java : Ravinements dans les masses de tufs projetées par l'éruption du Krakatoa sur l'île Verlaten.
- M 5709 Java : Ravin dans les poncees. Sébésie.
- M 5710 » Dévastation de la forêt sur la côte Est de l'île Sebooko, Sébésie.
- M 5711 Java : Fougères arborescentes.
- M 5712 » Fougères arborescentes.
- M 5713 » Laves de Sébésie.
- M 5714 » Fougères de Sébésie.
- M 5715 Ile Julia : Volcan sous-marin.
- M 5716 Volcan « Le Fousi-Yama » Japon.
- M 5717 Volcans du Mexique.
- M 5712 Volcan d'Antuyo, au Chili ; éruption de gaz.
- M 7217 Éruption du mont Tarawera (Nouvelle-Zélande).
- M 7224 Le Chimborazo.
- M 7220 Coupe d'un volcan en éruption.
- M 7175 Éruption du Vésuve en 1855.
- M 5725 Carte du Vésuve.
- M 5727 Vésuve : Leucilite de la Somma.
- M 5728 — Leucilite de La Somma.
- M 5729 Observatoire du Vésuve.
- M 7196 Le Vésuve, le cratère après l'éruption du 14 décembre 1867.
- M 7197 Érosion produite par le passage de cailloux roulés.
- M 5730 Le Vésuve : Cratère de 1873, grande ouverture 1872.
- M 5731 Le Vésuve : Cratère du 16 Septembre 1878.
- M 5732 Le Vésuve : Cratère de Septembre 1880.
- M 5733 La Solfatare de Pouzzole.
- M 5734 Temple de Sérapis, à Pouzzole.
- M 7193 Le Vésuve, montagne de lave et l'observatoire.
- M 7194 Le Vésuve, éruption de lave et golfe de Naples.
- M 7195 Le Vésuve, plaine de lave et vue du cône.
- M 15475 Volcan de Agua et de Fuego vus de la Antigua-Guatemala.
- M 15476 Santorin, Nea, Kaméni et Georges, vus de Palaea 1867.
- M 12546 Pic de Ténériffe.
- M 12547 Panorama des Puy.
- M 5635 Saint-Pierre : rue d'Enfer, avant la catastrophe.
- M 5636 Rivière Roxelane, près Saint-Pierre.
- M 5637 Bellevue : Maison de campagne du Gouverneur (Fort-de-France).
- M 5638 Vue générale de la Trinité.
- M 5639 Panorama de Saint-Pierre, après la catastrophe.
- M 5640 Saint-Pierre : Place Bertin ; l'allée ombragée après la catastrophe.
- M 5641 Saint-Pierre : Quartier de la caserne ; Cours National, après la catastrophe.
- M 5642 Saint-Pierre : Place Bertin, le Phare avec le petit canon annonçant les courriers, après la catastrophe.
- M 5643 Saint-Pierre : La rue Victor-Hugo en ruines, à droite un officier du « Suchet ».
- M 5644 Saint-Pierre : La rue et place Bertin. Au premier plan, magasin de quincaillerie Duplan et Cie. Dans le fond, les tours de la cathédrale.
- M 5645 Saint-Pierre : Restes de la cathédrale.
- M 5646 Saint-Pierre : La Mairie ; l'horloge arrêtée à 7 h. 50.
- M 5647 Saint-Pierre : La grande rue de Saint-Pierre. Le mont Pelée à l'horizon.
- M 5648 Saint-Pierre : Ruines de la berge Sud.
- M 5649 Saint-Pierre : Ruines de la berge Nord. Le Phare.
- M 5650 Saint-Pierre : la rade et la plage de Saint-Pierre à marée basse, après la catastrophe.
- M 5651 Saint-Pierre : La ville de Saint-Pierre le 8 mai : Éruption de la montagne Pelée.
- M 5652 Saint-Pierre : Rochers formés par les éruptions.
- M 5653 Saint-Pierre : Rivière Roxelane par laquelle la lave s'est écoulée.
- M 5718 Tremblement de terre de la Ligurie.
- M 5719 Tremblement de terre de la Ligurie, Nice.
- M 7231 Tremblement de terre de la Ligurie, Nice, le lendemain du mardi-gras.
- M 7232 Tremblement de terre de la Ligurie, Nice. La maison de l'école maternelle.
- M 5720 Tremblement de terre de la Ligurie, Menton.
- M 5721 Tremblement de terre de la Ligurie, Menton.
- M 5722 Tremblement de terre de la Ligurie, Côte de Gênes.
- M 5723 Tremblement de terre de la Ligurie, Côte de Gênes.
- M 5724 Tremblement de terre de la Ligurie, Côte de Gênes.
- M 7233 Tremblement de terre de la Ligurie, Diano-Martina. Fouilles dans les ruines.
- M 15477 Isola d'Ischia, panorama, tremblement de terre de Casamicciola.
- M 15478 Monte della misericordia Ospizio, tremblement de terre de Casamicciola.
- M 5735 Ischia : Le Château.
- M 5736 » Casamicciola, après le tremblement de terre.
- M 5736 Tremblement de terre d'Espagne : Crevasses.
- M 5737 Tremblement de terre d'Espagne : Maison écroulée.
- M 5738 Tremblement de terre d'Andalousie : crevasses de Guevejar.
- M 5741 Tremblement de terre d'Andalousie : Crevasses de Guevejar.
- M 7204 Tremblement de terre d'Andalousie : Grande crevasse de Guevejar.
- M 7210 Tremblement de terre. Ruines d'Abu-nubas.
- M 5739 Tremblement de terre. Vue d'Arenas del Rey.
- M 5740 Tremblement de terre. Vue d'Arenas del Rey.
- M 7214 Tremblement de terre de Grenade.
- M 7211 Tremblement de terre d'Alhama.
- M 7212 Tremblement de terre d'Alhama.
- M 7213 Tremblement de terre d'Alhama.
- M 5742 Tremblement de terre, Ravin principal d'Alhama.
- M 5743 Tremblement de terre. Ventas de Zafaraya.
- M 7219 Maison de San Stéfano après le tremblement de terre 1887.
- M 16806 Tremblement de terre Italie, 340 ans avant J.-C.
- M 16555 Mission scientifique de l'île Saint-Paul. Installation à l'entrée du cratère de l'île.

- M 16556 Mission scientifique de l'île Saint-Paul.  
La grande lunette équatoriale au moment de l'observation du 3<sup>e</sup> contact.
- M 16557 Mission scientifique de l'île Saint-Paul.  
Cabane des naturalistes.
- M 16558 Mission scientifique de l'île Saint-Paul.  
Les observatoires mobiles.
- M 16559 Mission scientifique de l'île Saint-Paul.  
Pyramide élevée en souvenir de l'expédition.
- M 16560 Mission scientifique de l'île Saint-Paul.

Installation sur les pierres de la jetée.

Voir aussi :

<i>Les Glaciers</i> , Catal. 68, série 30, comp. de 33 vues.			
<i>Les Cavernes</i> ,	»	»	31, » 24 »
<i>Les Causses</i> ,	»	»	32, » 25 »
<i>Mines et Carrieres</i> ,	»	»	34, » 22 »
<i>Diamants</i> ,	»	»	35, » 22 »
<i>Phénomènes ignés</i> ,	»	»	55, » 15 »
<i>Phénomènes actuels</i> »	»	»	56, » 16 »
<i>Curiosités naturelles</i> »	»	»	107, » 27 »
<i>Les Puits artésiens</i> ,	»	»	125, » 20 »

## SECTION 2. — Paléontologie (Voir aussi Sociologie, Anthropologie)

*Histoire du globe*, voir détail, section 1, page 14.

*Le Monde avant la création de l'homme*, voir détail, section 1, page 18.

*Les animaux disparus*, catalogue 68, série 33, composée de 25 vues.

*Une visite aux nouvelles galeries d'Anatomie comparée*, classe V, chapitre A, section 3.

## Chapitre D

### Géographie

#### Géographie élémentaire des cinq parties du monde, par Marcel Dunois

- M 17301 Planisphère terrestre.
- M 17302 Carte faite en Angleterre, au temps où Hugues Capet régnait en France, il y a 900 ans.
- M 17303 Hémisphère océanique.
- M 17304 Importance relative des terres et des mers, aux diverses latitudes.
- M 17305 L'ancien continent, relief des terres et profondeurs des mers.
- M 17306 L'ancien continent, direction des soulèvements.
- M 17307 Paléontiers sur les côtes de Sumatra.
- M 17308 Une clairière de la forêt, à Bornéo.
- M 17309 Pagode de Tanjore (Sud du Dékan).
- M 17310 Statues de l'île de Pâques.
- M 17311 Les Amériques.
- M 17312 Tramway et gare du chemin de fer aérien, sur la 5<sup>e</sup> avenue à New-York.
- M 17313 Les formes des Indes.
- M 17314 Produits de l'industrie sauvage. Idoles péruviennes.

#### Géographie élémentaire de la France et de ses colonies, par Marcel Dunois

- M 17315 La France au centre du monde continental.
- M 17316 Les contours de la France.
- M 17317 La France au début de la période secondaire.
- M 17318 La France à la fin de la période tertiaire.
- M 17319 Coupe du bassin parisien à travers les terrains tertiaires et secondaires.
- M 17320 Le relief Français.
- M 17321 Les Pyrénées.
- M 17322 Les Alpes françaises.
- M 17323 Jura, Vosges et plateaux de l'Est.
- M 17324 Massif central.
- M 17325 Fleuves, côtes et frontières.
- M 17326 Les Colonies françaises.
- M 17327 Le Maghreb français.
- M 17328 L'Indo-Chine française.

#### Géographie générale du Monde. — Bassin de la Méditerranée, par Marcel Dunois

- M 17329 La rose des vents.
- M 17330 Hémisphère continental et hémisphère maritime.
- M 17331 Vallée médiane des Alpes.
- M 17332 Hautes régions de l'Asie centrale.
- M 17333 Asie, profil sur 75° de long. E.
- M 17333 bis. Afrique, profil sur l'Équateur.
- M 17334 Dispersion des eaux du Saint-Gothard.
- M 17335 Dispersion des eaux dans la plaine russe.
- M 17336 Les embouchures du Hoang-Ho et Yang-tse-Kang.
- M 17337 Région de formation des grands fleuves africains.
- M 17338 Le bassin de la Méditerranée.
- M 17339 Espagne économique.
- M 17340 Italie économique.
- M 17341 La péninsule des Balkans.
- M 17342 Îles britanniques, géographie économique.
- M 17343 Allemagne, Géographie économique.
- M 17344 Autriche, Hongrie, populations, géographie économique.
- M 17345 Russie économique.
- M 17346 Australie, profil sur le 30° de lat. S.
- M 17347 Relief des Amériques.
- M 17348 Le Mississipi et ses affluents.
- M 17349 Productions principales des États-Unis.
- M 17350 Chemins de fer transcontinentaux.
- M 17351 Amérique du Nord, profil sur le 40° de lat. N. — Amérique du Sud, profil sur le 10° de lat. S.
- M 17352 L'Amazonie et ses affluents.

#### Géographie générale. — Amérique, par Marcel Dunois

- M 17353 Hémisphère continental et hémisphère maritime.
- M 17354 Profondeur des mers.
- M 17355 Les courants maritimes.

- M 17356 Distribution géographique des volcans et des coraux.  
M 17357 Relief des Amériques.  
M 17358 Relief de l'ancien monde.  
M 17359 Système général des vents.  
M 17360 Les pluies d'après leur saison.  
M 17361 Les pluies d'après leur quantité.  
M 17362 Tracé des lignes isothermes.  
M 17363 Les zones de végétation.  
M 17364 Densité de la population.  
M 17365 Expansion des Européens.  
M 17366 Race jaune.  
M 17367 Race noire.  
M 17368 Forme de l'Océan d'après Colomb.  
M 17369 Peuplement de l'Amérique.  
M 17370 Langues de l'Amérique.  
M 17371 Les pluies au Canada.  
M 17372 Superficie comparée des lacs et de la France.  
M 17373 Répartition des races au Canada.  
M 17374 Chemins de fer transcontinentaux.  
M 17375 Le banc de Terre-Neuve.  
M 17376 Isothermes de janvier aux Etats-Unis.  
M 17377 Isothermes de juillet aux Etats-Unis.  
M 17377 Le Mississipi et ses affluents.  
M 17378 Productions principales des Etats-Unis.  
M 17379 Canaux et Chemins de fer des Isthmes.  
M 17380 Méditerranée américaine.  
M 17381 Relief du Brésil.  
M 17382 L'Amazonie et ses affluents.  
M 17383 Productions principales du Brésil.
- Afrique, Asie, Océanie, par Marcel Dubois**
- M 17384 Zones de végétation de l'Afrique (d'après Berghaus).  
M 17385 Répartition des Musulmans dans le Soudan occidental.  
M 17386 Comparaison des principaux fleuves du monde.  
M 17387 Pluies de l'Afrique (d'après Berghaus).  
M 17388 Aires de végétation de l'Asie.  
M 17389 Coupe du Canada et du massif Arménien.  
M 17390 Densité de la population en Asie Mineure.  
M 17391 Coupe de l'Himalaya de l'Ouest à l'Est.  
M 17392 Zones de végétation dans l'Himalaya d'après Reclus.  
M 17393 Routes commerciales du Thibet.  
M 17394 Aires des déplacements successifs du Hoang-ho.  
M 17395 Cercle de feu du Grand Océan.  
M 17396 Comparaison de deux continents dans l'intérieur desquels se trouve un désert.  
M 17397 Zones de végétation de l'Australie, d'après Berghaus.
- Collection de la Société de Géographie de Paris**
- Cartes et itinéraires de voyages**
- M 7234 Carte de la France et de ses côtes sous-marines par M. Delesse.  
M 7235 Carte générale de l'Indo-Chine et de la Chine méridionale, dressée par Francis Garnier (1872).  
M 7236 Marche du choléra au Maroc, en 1868, par Auguste Beaumier.  
M 7237 Annexe à la carte ci-dessus.  
M 7238 Carte de la Patagonie montrant l'itinéraire du capitaine Musters.  
M 7239 Croquis du Dahra par G. Bourdon.  
M 7240 Essai d'orographie sous-marine de l'Océan Atlantique Nord, par M. Jules Gisard.  
M 7241 Profils du fond de l'Océan Atlantique Nord par M. Jules Gisard.
- M 7242 Sondages spécimens du fond.  
M 7243 Principaux itinéraires français au Sud et au Sud-Ouest de Gêryville (1817-1870).  
M 7244 Cartes des explorations de Livingstone dans la région des lacs de l'Afrique orientale par Charles Maunoir.  
M 7245 Carte représentant le tracé des chemins de fer proposés en Europe et aux Indes.  
M 7246 Carte de la Nouvelle-Calédonie, voyage de M. Balans.  
M 7247 Carte physique du Brésil oriental, par Emm. Liass.  
M 7248 Carte du pays compris en Gêryville, Brezina et Tadjerouna.  
M 7249 Région du haut Oûs, d'après la carte du colonel Yule.  
M 7250 Carte de la Montagne des Ansariès et du pachalik d'Alep, par E.-G. Rey.  
M 7251 Esquisse du pays à l'Est de la mer Caspienne et de la nier d'Aral.  
M 7252 Itinéraire d'un voyage dans le Yemen, par Joseph Halévy.  
M 7253 Océan Glacial arctique, entre les îles du Spitzberg et Nouvelle-Zemble (1872) par Charles Grad.  
M 7254 Itinéraire aux îles Aléoutiennes, par A. Pinart.  
M 7255 Marseille au temps de Jules César, par Ed. Rouby.  
M 7256 Marseille en 1850, par Ed. Rouby.  
M 7257 Carte d'ensemble des hauts plateaux du Sahara de la subdivision de Tlemcen.  
M 7258 Voyage de Nachtigal (lac Tsadi).  
M 7259 Voyages de Poncet, Schweinfurth et Baker Nil.  
M 7260 Voyages en Asie.  
M 7261 Voyages de Giles dans l'Australie Centrale.  
M 7262 Voyage de Hall (pôle Nord).  
M 7263 Esquisse du rivage probable de la mer intérieure algérienne, par le commandant Roudaire 1874.  
M 7264 Itinéraire d'un voyage dans les Khasia et le bassin supérieur de Hallacmon, par H. Gorceix.  
M 7265 Nouvelle triangulation de la Corse.  
M 7266 Inondation de la plaine du Tien-Tsin, en 1874.  
M 7267 Carte de la côte des Esclaves, dressée par l'abbé J.-E. Bouche.  
M 7268 Itinéraire de Temassin à bir-Tazeri.  
M 7269 Cours de l'Ogoué entre Sam-Quita et la rivière Imdo, par MM. Marche et de Compiegne.  
M 7270 Carte d'une partie du Tong-Kin et du Yu-Nan, avec le cours du Yu-Nan (exploration de J. Dupuis).  
M 7271 Afrique nécrologique de 1800 à 1874, par H. Duveyrier.  
M 7272 Carte agricole de la France, par M. Delesse.  
M 7273 Carte du bassin de Mackenzie, dressée de 1862 à 1873 par E. Petitot.  
M 7274 Itinéraire de Pékin, à Satchy et à Baron-Taba-Djao, dressé par l'abbé Armand David.  
M 7275 Carte de Thanh-Hoa, province du Tong-Kin.  
M 7276 Plausiphère indiquant l'état des connaissances géographiques en 1875.  
M 7277 Carte du nivellement exécuté par la mission des Chotts, chargée d'étudier le projet de mer intérieure.  
M 7278 Soulèvements et dépressions du sol sur les côtes de France, par J. Girard.



- M 7279 Carte d'une partie du Tibet oriental, par l'abbé A. Desgodins.
- M 7280 Itinéraire de Gondokoro au Victoria Nyanza et au pays Niam-Niam.
- M 7281 Itinéraire d'un voyage à la Terre-de-Feu, par M. Marguin.
- M 7282 Projection orthographique polaire.
- M 7283 Projection orthographique équatoriale.
- M 7284 Projection orthographique horizontale sur l'horizon de Paris.
- M 7285 Esquisses pour l'itinéraire dans la Chine.
- M 7286 Esquisses pour l'itinéraire dans l'Afrique centrale.
- M 7287 Esquisses pour l'itinéraire dans l'Australie centrale.
- M 7288 Esquisses pour l'itinéraire dans la terre François-Joseph.
- M 7289 Fac-similé de la carte d'Azz-ed-din-ben-Djemaï.
- M 7290 Carte du détroit de Smith pour suivre l'expédition polaire anglaise (1875).
- M 7291 Carte pour l'intelligence du voyage du lieutenant Cameron, Afrique équatoriale.
- M 7292 Itinéraire dans l'Afrique centrale, 1869 à 1874 par le D<sup>r</sup> Nachligal.
- M 7293 Itinéraire en Mongolie.
- M 7294 Esquisse topographique d'une partie du royaume de Fès, tracée par G. Tissot.
- M 7295 Région du Pamir.
- M 7296 Lignes cotidales approximatives pour la partie septentrionale de l'Atlantique et du Pacifique et pour les mers polaires.
- M 7297 Itinéraires des voyages dans l'Australie centrale et occidentale (1873-1875).
- M 7298 Lac Oukercoué et itinéraire dans l'Afrique orientale, par Stanley (1875).
- M 7299 Route d'Europe en Sibérie, suivie par Nordenskiöld en 1875.
- M 7300 Chemins de fer de l'Inde et densité de la population en 1876, par Vidal Lablache.
- M 7301 Californie méridionale et Arizona, voyage de A. Pinart.
- M 7302 Nivellement du Puy-de-Dôme par le capitaine Penel.
- M 7303 Résultat cartographique de l'expédition anglaise au pôle nord (1875-1876).
- M 7304 Afrique équatoriale et itinéraire des principaux explorateurs.
- M 7305 Voyage au couché de l'Ényisséi, par la mer de Kara, Nordenskiöld (juillet-septembre 1876).
- M 7306 Voies romaines de la Seine-Inférieure par William-Martin.
- M 7307 Itinéraire dans le bassin de Se-Moun, par le D<sup>r</sup> S. Harmand.
- M 7308 Carte du bassin des chotts, par le capitaine Roudaire.
- M 7309 Carte des détroits compris entre la mer de Baffin et la mer Paléocrystique, expédition polaire anglaise, 1875-1876.
- M 7310 Carte du commentaire de l'Apocalypse par Réclus, abbaye de Saint-Sever, XI<sup>e</sup> siècle.
- M 7311 Carte générale du Darien méridional, par Lucien Wyse.
- M 7312 Asie et Europe, en projection azimutale équivalente, par le colonel de Coatpont.
- M 7313 Carte des réserves indiennes aux États-Unis, par L. Simonin, 1876.
- M 7314 Ile de Pâques, itinéraire de M. A. Pinart.
- M 7315 Péninsule Taïmour, d'après l'expédition suédoise de Nordenskiöld, août 1878.
- M 7316 Guyane française et cours du Yary par le D<sup>r</sup> Jules Crevaux.
- M 7317 Pyrénées.
- M 7318 Alpes centrales et plaine suisse.
- M 7319 France et pays voisins, carte orographique.
- M 7320 Répartition des membres de la Société de géographie de 1821 à 1878.
- M 7321 Planisphere. — Voyages de Cook.
- M 7322 Régions des cours supérieurs de l'Ogoué, de l'Alima et de la Liéona, voyage de M. Savorgnan de Brazza.
- M 7323 Carte d'Europe indiquant les villes dont la longitude a été déterminée par le télégraphe électrique.
- M 7324 Carte du district de Kouldja, dressée par Ch.-E. de Ujfalvy.
- M 7325 Carte de la région Aralo-Caspienne.
- M 7326 Carte de la Gaule, dolmens et allées couvertes, par Alex. Bertrand.
- M 7327 Région du Haut-Oxus, par Ch.-E. Ujfalvy.
- M 7328 Itinéraire entre Bassac, La Khon et Hué, par le D<sup>r</sup> J. Harmand.
- M 7329 Carte d'ensemble des voyages du D<sup>r</sup> J. Harmand en Indo-Chine.
- M 7330 Carte des dernières explorations en Asie et dans les régions polaires 1880.
- M 7331 Carte des dernières explorations en Afrique 1880.
- M 7332 Itinéraire à la terre de François-Joseph, par B. Leigh Smith, 1880.
- M 7333 Itinéraire à la terre du roi Guillaume, par le lieutenant Schwatka 1880.
- M 7334 Carte de Patagonie pour suivre les voyages de F. P. Moreno 1875-1880.
- M 7335 Carte du voyage en Chine par M. Hue, 1844-1846.
- M 7336 Itinéraire à Tombouctou, par Caillé, 1827-1828.
- M 7337 Voyage dans l'Inde, par Victor Jacquemont, 1828-1832.
- M 7338 Croquis de l'itinéraire de M. Savorgnan de Brazza, entre l'Ogoué et le Congo, 1880.
- M 7339 Itinéraire dans la Chine, par l'abbé Armand David 1864-1874.
- M 7340 Carte du voyage à la mer Noire et en Perse, par Hommaire de Hell, 1816-1818.
- M 7341 Itinéraire de M. et Mme Caillard, du pays des Bassoulas au Zambèze.
- M 7342 Carte du voyage au Niger, par la mission Gallieni 1880-1881.
- M 7343 Carte de l'Indo-Chine, commission française d'Oudard de Lagrée, 1866-1868.
- M 7344 Itinéraire de l'Astrolabe et de la Zélée, Dumont-d'Urville, 1826-1829.
- M 7345 Itinéraire de la Favorite, Laplace, 1830-1832.
- M 7346 Carte du Voyage aux Oasis et au Nil bleu, par Caillaud, 1819-1822.
- M 7347 Carte du Voyage au pays des Touaregs, par Duveyrier, 1859-1861.
- M 7348 Carte de l'Amérique équatoriale pour suivre les Voyages du D<sup>r</sup> Crevaux, 1878-1879.
- M 7349 Itinéraire de l'abbé Desgodins au Tibet oriental, 1855-1879.
- M 7350 Carte de l'Océan glacial arctique, Itinéraire de Nordenskiöld.
- M 7351 Carte des Talras et d'une partie du Podhale par le D<sup>r</sup> Gustave le Bon, 1880.
- M 7352 Itinéraire à Tombouctou, par le D<sup>r</sup> Oscar Lentz, 1880.
- M 7353 Itinéraire de M. Gill en Chine et au Tibet 1877.



- M 7354 Carte de la Patagonie pour suivre les voyages du F. P. Moreno, 1875-1880.
- M 7355 Itinéraire de la Terre François-Joseph, par B. Leigh Smith, 1880.
- M 7356 Itinéraire de Sierra Leone aux Sources du Niger, par MM. Zweifel et Moustier, 1879.
- M 7357 Itinéraire du major Serpa-Pinto à travers l'Afrique méridionale, 1877-1879.
- M 7358 Carte de la mission du Dr Crevaux dans l'Amérique équatoriale, 1880-1881.
- M 7359 Voyage de M. D. Charnay au Mexique, 1880-1881.
- M 7360 Itinéraire en Océanie par le Dr Montano, 1880-1881.
- M 7361 Ile Mindanao, de Davao à Butuan, par le Dr Montano, 1880-1881.
- M 7362 Cours navigable de la rivière Sagalind, Bornéo, par le Dr Montano, 1880.
- M 7363 Carte du pays entre la mer Caspienne et l'Oasis des Turkmens Tekkés.
- M 7364 Carte des projets de chemin de fer entre la Caspienne et l'Inde.
- M 7365 Itinéraire à la Terre du roi Guillaume, par le lieutenant Schwatka, 1878-1880.
- M 7366 Carte des populations de la Sénégambie et du Haut-Niger par le Dr Quintin, 1863-1866.
- M 7367 Itinéraire de Geryville à Fignig, par le sous-lieutenant L. Perrot, 1868.
- M 7368 Carte des sondages et dragages dans le Golfe de Gascogne, effectués à bord du Travailleur, 1880, juillet et août.
- M 7369 Cartes des sondages dans l'Océan Atlantique et la mer Méditerranée, en 1881.
- M 7370 Carte d'une partie du Sahara central avec l'itinéraire des missions Flatters, 1880-1881.
- M 7371 Voyage au pays Comali, par Georges Révoil, 1881.
- M 7372 Voyage en Abyssinie et aux pays des Gallas Ruas, par A. Raffray, 1881.
- M 7373 Itinéraire de la mission de M. Paiva d'Andrada au Zambéze, 1881.
- M 7374 Environs de Fignig.
- M 7375 Itinéraire de Médine à Mango, par la mission Gallieni, 1880-1881.
- M 7376 Partie des provinces du Koue-Tchéou, de Kouang Si et de Yu Nan, par l'abbé Creuse, 1879.
- M 7377 Itinéraire dans le Cambodge central, par E. Aynonier, 1879-1881.
- M 7378 Voyage au Yucatan et aux pays des Lacandons, par D. Charnay, 1882.
- M 7379 Itinéraire au Mexique, de Ténosique aux ruines Lorillard, par D. Charnay, 1882.
- M 7380 Scandinavie septentrionale, route suivie par M. Charles Rabot.
- M 7381 Delta de la Lena, route de l'équipage de la Jeannette.
- M 7382 Observatoires scientifiques circumpolaires, régions arctiques et antarctiques, 1883.
- M 7383 Route de l'expédition arctique commandée par de Long, 1879-1881.
- M 7384 Essai d'une carte hypsométrique de la province d'Imrina, Madagascar.
- M 7385 Itinéraire dans l'Etat de Perak, presqu'île de Malacca, par E. de Lacroix.
- M 7386 Itinéraire dans la province de Larout, Etat de Pérak.
- M 7387 Itinéraire dans l'Indo-Chine aux sources du Don-Nai, par le Dr Neis, 1880-1882.
- M 7388 Itinéraire de Bangkok, à Xieng-sen, par M. Carl Bock, 1881-1882.
- M 7389 Le Soudan occidental, route suivie par la mission Derrien, 1880-1881.
- M 7390 Itinéraire dans le royaume de Ségou, par MM. Galhéné et Derrien, 1880-1881.
- M 7391 Itinéraire dans l'Arabie septentrionale, par Charles Huber, 1879-1882.
- M 7392 Carte pour suivre les voyages en Patagonie.
- M 7393 Carte pour suivre l'exploration de la Terre de Baffin, par le Dr F. Boas.
- M 7394 Carte pour suivre les travaux de la mission française dans l'Ouest africain.
- M 7395 Carte du Grand Chaco et ses abords (Amérique du sud).
- M 7396 Itinéraire de la Guyane méridionale, par A. Goudreau.
- M 7397 Voyage en Corée, par M. Charles 1884-1885.
- M 7398 Voyage au Choa et dans le pays des Sallas, par M. Aubry.
- M 7399 Voyage en Indo-Chine, par le capitaine Aynonier, 1883-1885.
- M 7400 Voyage au Thibet, par le Paundit Krishua, 1878-1882.
- M 7401 Voyage dans l'Afrique australe, par MM. Capello et Ivens, 1884-1885.
- M 7402 Voyage aux îles Philippines, par A. Marche.
- M 7403 Voyage dans l'Asie australe, par le colonel Prijevalski, 1883-1885.
- M 7404 Voyage en Indo-Chine, par P. Weis, 1881-1884 et par Pavie, 1880-1885.
- M 7405 Voyage en Chine et en Sibérie, par H. Fritsche.
- M 7406 Voyage en Australie orientale, itinéraire du Dr Lindsay, 1885-1886.
- M 7407 Voyage dans le royaume de Siam et projet de chemin de fer, par H. S. Hallet.
- M 7408 Voyage en Arabie, par E. Glaser, 1883-1885.
- M 7409 Voyage en Patagonie, par le lieutenant-colonel Fontana, 1886.
- M 7410 Congo français itinéraire de la mission Rouvier.
- M 7411 Exploration dans l'Afrique australe, par Farini.
- M 7412 Congo français itinéraire de Jacques de Brazza.
- M 7413 Congo français ou France équatoriale, par P. Savorgnan de Brazza.
- M 7414 Lacs et lagunes de la côte orientale de Madagascar, par Alfreth Grandier.
- M 7415 Carte géographique du Sahara, par G. Rolland.
- M 7416 Les oasis d'Insalah, par M. le Châtelier.
- M 7417 Fleuve Ogoué par M. L. Mizon.
- M 7418 Itinéraire de l'Ogoué, à l'embouchure du Ngongo, par M. L. Mizon.
- M 7419 Itinéraire au Maroc, par M. le comte de Foucauld.
- M 7420 Route de Fey à Oudja, par le comte Maurice de Chavagnac.
- M 7421 Les ports du Tonkin, par S. Renaud.
- M 7422 Royaume de Choa et pays Gallas, par Alphonse Aubry.
- M 7423 Soudan française (Expédition Gallieni).
- M 7424 Campagne de l'Illirodelle, par S. A. le prince Albert de Monaco.

- M 7425 Itinéraire dans le Sahara occidental et au Maroc, par Camille Douls.
- M 7426 Itinéraire dans les bassins du Nil et du Congo, par W. Junker, 1876-1886.
- M 7427 Itinéraire dans les lacs Myassa et Kilua, par T. Last, 1886.
- M 7428 Traversée des Cordillères des Andes, par MM. Monnier, Olivier, Ordinaire, James.
- M 7429 Itinéraire à la Terre-de-Feu, par MM. Popper et Ramon Lista.
- M 7430 Voyage dans le Yemen, par T. Haig, 1887.
- M 7431 Voyage en Mandchourie, par James.
- M 7432 Voyage en Mongolie, par G. N. Potanine, 1884-1887.
- M 7433 Itinéraire dans l'Asie Centrale, par Prjevalski, 1884-1885.
- M 7435 Voyage dans l'Asie centrale, par A. D. Carey, 1885-1887.
- M 7436 Traversée du Pamir, par Bonvalot-Capus et Pépin, 1885-1887.
- M 7437 Dernières explorations en Nouvelle-Guinée, 1887.
- M 7438 Cartes des Voyages de Lapérouse, 1785-1788.
- M 7439 Voyage de M. Marcel Monnier, du Pacifique à la vallée du Huallaga et à l'Amazonie.
- M 7440 Itinéraires levés dans le Soudan français par ordre du colonel Gallieni, 1886-1888.
- M 7441 Cartes bathymétriques et géologiques des bancs de Terre-Neuve, par J. Thoulet, 1886.
- M 7442 Itinéraire du Bammako au Golfe de Guinée, par le capitaine Binger, 1887-1889.
- M 7443 Itinéraire dans la presqu'île de Kolé par Charles Rabot, 1884-1885.
- M 7444 Cours du Pasvig.
- M 7445 Traversée des Andes péruviennes, par Marcel Monnier, 1886-1887.
- M 7446 Grandes routes commerciales du Sahara, par E. Blanc, 1889.
- M 7447 Territoires contestés de Guyane.
- M 7448 Lagunes d'Assinie et d'Appolonie, d'après les explorations de J. C. Reichenbach.
- M 7449 Itinéraires dans le Zanguebar, par le capitaine A. Bloyet.
- M 7450 Itinéraires par le Pamir, par G. Capus.
- M 7451 Itinéraires au nord de l'Ogôoué, pl. I, par Paul Crampell, août 1889, février 1890.
- M 7452 Itinéraires au nord de l'Ogôoué, pl. II, par Paul Crampell, août 1889, février 1890.
- M 7453 Itinéraires au nord de l'Ogôoué, tableau d'assemblage, août 1889, février 1890.
- M 7454 Mission au Tademaït, janvier, février, mars 1890, itinéraire de M. Foureau.
- M 7455 Triangulation générale de la France, chaînés méridiennes et parallèles.
- M 7456 Arcs et méridiens et arcs parallèles mesurés sur le globe terrestre.
- M 7457 Triangulation générale de l'Algérie et de la Tunisie.
- M 7458 Déterminations télégraphiques des différences de longitudes.
- M 7459 Itinéraire de l'Ogôoué au Campo, par A. Foureau, 1889.
- M 7460 Voyage de la Sibirie au Tonkin, par G. Bonvalot et le prince Henri d'Orléans.
- M 7461 Carte de la Guyane, par Henri Candreau, 1887-1889.
- M 7462 Voyage au bas Kouen-Louen et aux sources de l'Oxus, par H. Dauvergne, 1889.
- M 7463 Région comprise entre le Tell-Algérien, et In-Salah.
- M 7464 Essai sur la température dans les régions circumpolaires, par J. Girard.
- M 7465 Lever dans le Kourdistan, 1869.
- M 7466 Côte de l'Ivoire, voyage du lieutenant Quiquerez.
- M 7467 Carte du bassin de l'Ancien Oxus, par Edouard Blanc.
- M 7468 Carte de la répartition des neiges dans les vallées du Pamir, par C. Capus.
- M 7469 Itinéraire chez les Maures Trarza, par Léon Fabert, 1891.
- M 7470 Itinéraire dans l'Afrique occidentale, du Niger au golfe de Guinée, par le capitaine Binger, 1887-1889.
- M 7471 Carte de la Casamanche, M. le capitaine Brosselet-Faidherbe, 1888.
- M 7472 Le Congo français, par M. Dagnod.
- M 7473 Le Congo français, voyages de M. Mizon, lieutenant de vaisseau.
- M 7474 Itinéraire dans l'Afrique centrale, mission Jean Dybowski, 1891-1892.
- M 7475 Voyage de M. le commandant Montell, 1892, du Sénégal au lac Tchad et à Tripoli.
- M 7476 Itinéraire dans l'Afrique centrale, mission C. Maistre, 1892-1893.
- M 7477 Madagascar, itinéraires de MM. le Dr Calat, Maistre et Foucart.

Toutes les cartes paraissant dans le *bulletin de la Société de Géographie* peuvent être reproduites, il suffit de nous donner l'année du *bulletin* et le mois.

### Cartes géographiques diverses

- M 7478 Mappemonde.
- M 7479 Europe.
- M 7480 Europe centrale.
- M 7481 France physique.
- M 7482 France par départements.
- M 7483 France par chemins de fer.
- M 7484 Asie.
- M 7485 Afrique.
- M 7486 Amérique du Nord.
- M 7487 Amérique du Sud.
- M 7488 Océanie.
- M 7489 Palestine.
- M 16535 Nouvelle-Calédonie.

### Carte de l'Atlas colonial de M. Henri MAGE

- M 7490 Obock-Djibouti, possessions françaises.
- M 7479 Europe.
- M 7491 Madagascar.
- M 7492 Ile de la Réunion.
- M 7493 Iles Kerguelen.
- M 7494 L'Indo-Chine.
- M 7495 Possessions françaises de l'Inde.
- M 7496 Cochinchine et Cambodge.
- M 7497 Tong-King.
- M 7498 Iles Tahiti.
- M 7499 Archipel des Nouvelles.
- M 7500 Nouvelle-Calédonie.
- M 7501 Guadeloupe.
- M 7502 Martinique.
- M 7503 Guyane française.
- M 7504 Iles Saint-Pierre et Miquelon, Terre-Neuve.
- M 7505 Afrique occidentale.
- M 7506 Gabon-Congo.
- M 7507 Ile Ouvéa.

# CONSTRUCTION de LONGUES-VUES

en tous genres

## LUNETTES ASTRONOMIQUES & TERRESTRES

### LUNETTES POPULAIRES

D'APRÈS LES DONNÉES DE

M. FLAMMARION

RADIGUET

&

MASSIOT

Constructeurs

MODÈLE ÉTABLI

PAR

M. MOLTENI

Chevalier de la Légion d'Honneur



Les Lunettes Astronomiques Populaires ont été établies par MOLTENI suivant les données de M. FLAMMARION, l'Astronome universellement connu. Elles sont d'ailleurs recommandées par lui dans ses ouvrages :

“ L'Astronomie Populaire ”

“ Les Étoiles et Curiosités du Ciel ”

Sans rien sacrifier à la perfection de ces modèles, qualités optiques, précision mécanique, les prix très modérés auxquels sont fournis ces instruments en font un agent précieux de vulgarisation de la science si attachants qu'est l'Astronomie.

### SE FAIT EN DEUX DIMENSIONS

Avec objectif de 61<sup>m</sup>/<sub>m</sub> de diamètre, longueur focale 90<sup>m</sup>/<sub>m</sub>, un oculaire terrestre grossissant 40 fois et un oculaire astronomique grossissant 100 fois.

*Sur pied solide en fonte*

*Livré en boîte . . . . Prix 160 fr.*

Avec objectif de 95<sup>m</sup>/<sub>m</sub> de diamètre, longueur focale 1<sup>m</sup>30, un oculaire terrestre grossissant 60 fois et un oculaire astronomique grossissant 80, 150 et 200 fois.

*Sur pied solide en fonte, livré en boîte*

Sans chercheur . . . . Prix 425 fr.

Avec — . . . . — 465 fr.

# CADRANS SOLAIRES

## MONTÉS SUR MARBRE & ARDOISE

MÉRIDIENS A CANON, Modèles soignés

# CHRONOMÈTRE SOLAIRE FLECHET



Modèle  
MOLTENI



RADIGUET  
&  
MASSIOT  
Constructeurs



L'usage des cadrans solaires remonte à la plus haute antiquité ; ils ont été et sont encore très répandus dans les localités qui, éloignées des grands centres, n'ont pas la facilité de se procurer l'heure exactement.

Les cadrans solaires sont en outre un instrument intéressant et que les propriétaires d'un château, parc, jardin, sont heureux d'installer en évidence.

Malheureusement, l'heure donnée par beaucoup de cadrans solaires est loin d'avoir l'exactitude désirée. Cela provient de plusieurs causes inhérentes soit à l'instrument lui-même, soit à la façon dont il a été mis en place.

Il faut d'abord remarquer que la plupart des cadrans indiquent l'heure solaire et non pas l'heure civile ; or, la différence entre le temps vrai et le temps moyen est d'environ un quart d'heure pour certains jours de l'année.

Il faut ensuite qu'un cadran solaire soit fait pour la latitude sous laquelle il doit servir, mais bien souvent cette latitude n'est pas exactement connue.

Enfin si à ces causes on ajoute les difficultés de la pose, on ne sera pas surpris de trouver des cadrans donnant des différences considérables.

Le Chronomètre solaire représenté ci-dessus n'a pas ces inconvénients, il peut servir dans tous les pays, il donne à volonté l'heure solaire et l'heure civile ; il peut être mis en place sans connaître la latitude, et s'orienter sans être obligé d'avoir recours à une boussole.

La construction de cet appareil est particulièrement soignée, entièrement en cuivre poli et verni, et d'un aspect élégant, il trouvera sa place dans tous les établissements météorologiques.

Se fait en deux dimensions.

L'appareil complet livré en boîte avec clef de réglage et boulon de scellement.

Largeur du Cercle, 15 c/m . . . . . PRIX 75 fr.

Le Même

Largeur du Cercle, 23 c/m . . . . . PRIX 150 fr.

Indépendamment de l'édition des Diapositives,

**La Maison RADIGUET & MASSIOT**

*Successeurs de MOLTENI*

construit une foule d'appareils pour les

## **PROJECTIONS LUMINEUSES**

*Ces modèles, qui nous sont spéciaux, sont décrits dans le Catalogue général n° 89  
comprenant tous les Appareils et Accessoires de Projection*

### **I<sup>e</sup> PARTIE**

#### **Appareils pour la projection des Diapositives**

Chapitre 1<sup>er</sup>.— Appareils simples.

— 2. — — multiples (Polyoramas).

### **II<sup>e</sup> PARTIE**

#### **Appareils d'Agrandissement**

Chapitre 1<sup>er</sup>.— Appareils pour Amateurs débutants.

— 2. — — spéciaux pour Professionnels.

### **III<sup>e</sup> PARTIE**

#### **Appareils de Projections scientifiques**

Chapitre 1<sup>er</sup>.— Appareils pour l'Enseignement primaire.

— 2. — — — secondaire.

— 3. — — — secondaire et supérieur.

— 4. — Microscopes et Polariscope de projection.

— 5. — Appareils accessoires pour la projection des expériences scientifiques.

### **IV<sup>e</sup> PARTIE**

#### **Cinématographie**

Chapitre 1<sup>er</sup>.— Appareils enregistreurs ou de prise.

— 2. — — projecteurs.

— 3. — Postes cinématographiques complets.

— 4. — Accessoires divers spéciaux à la cinématographie.

### **V<sup>e</sup> PARTIE**

#### **Projecteurs**

Chapitre 1<sup>er</sup>.— Boîtes à lumière pour théâtres.

— 2. — Projecteurs de grande puissance.

### **VI<sup>e</sup> PARTIE**

#### **Pièces d'appareils de Projections et Accessoires**

Chapitre 1<sup>er</sup>.— Éclairage des appareils.

— 2. — Optique des appareils.

— 3. — Pieds d'appareils, écrans et cadres.

— 4. — Accessoires généraux pour la projection.

# TABLEAU DU CLASSEMENT MÉTHODIQUE des Collections Scientifiques et Littéraires pour Projections Lumineuses

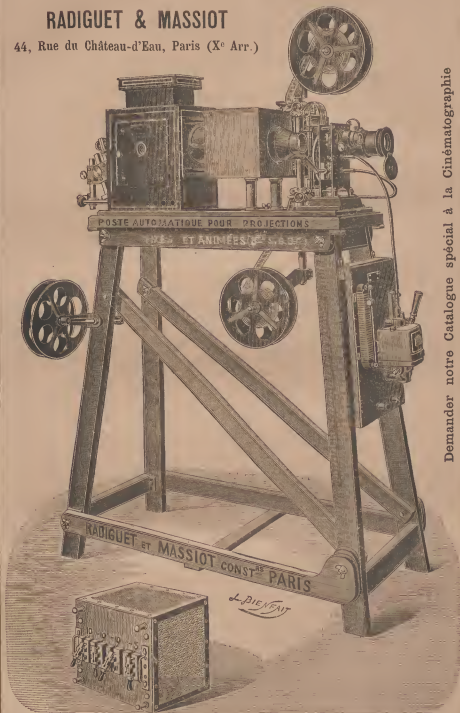
RADIGUET & MASSIOT, ÉDITEURS DE DIAPOSITIVES, PARIS

CLASSE I. MATHÉMATIQUES.	CHAPITRE A. Arithmétique.	} Fascicule en préparation.
	CHAPITRE B. Géométrie.	
CLASSE II. ASTRONOMIE . . . . .	CHAPITRE C. Algèbre.	} SECTION 1. Minéralogie (Voir aussi Chimie minérale.), p. 14 à 26. SECTION 2. Paléontologie. (Voir aussi Sociologie, Anthropologie.), page 26.
	CHAPITRE A. Physique céleste, Cosmologie et Cours d'Astronomie.	
	CHAPITRE B. Météorologie, pages 12 et 13.	
	CHAPITRE D. Géographie, pages 26 à 30.	
CLASSE III. PHYSIQUE. . . . .	CHAPITRE A. Cours et Leçons, pages 1 à 7.	} SECTION 1. Mouvement, pages 7 à 9. SECTION 2. Statique des liquides et des gaz, p. 9. SECTION 3. Chaleur, page 10. SECTION 4. Optique, page 10. SECTION 5. Acoustique, pages 10 à 12. SECTION 6. Electricité et Magnétisme, p. 12 et 13. SECTION 7. Applications électriques, p. 13 à 21. SECTION 2. Applications mécaniques, page 22. SECTION 3. Métallurgie, page 23. SECTION 4. Grands travaux, pages 23 à 25. SECTION 5. Guerre, pages 25 à 28. SECTION 6. Marine, pages 28 à 31. SECTION 7. Transport, pages 31 à 34. SECTION 8. Aérostation, pages 34 et 35. SECTION 9. Eclairage et Chauffage, page 35. SECTION 10. Industries diverses, page 36.
	CHAPITRE B. Branches spéciales de la Physique pure. . . . .	
	CHAPITRE C. Applications de la Physique aux sciences et à l'industrie . . . . .	
	CHAPITRE A. Cours et Leçons, pages 1 à 4.	
	CHAPITRE B. Chimie pure . . . . .	
	CHAPITRE C. Applications de la Chimie à l'industrie et aux arts . . . . .	
	CHAPITRE A. Anatomie . . . . .	
	CHAPITRE B. Histologie, pages 25.	
	CHAPITRE C. Physiologie . . . . .	
	CHAPITRE D. Psychologie. . . . .	
CLASSE V. BIOLOGIE . . . . .	CHAPITRE E. Pathologie (humaine et zoologique), pages 27 et 28.	} SECTION 1. Physiologie normale, page 25. SECTION 2. Physiologie pathologique, page 25. SECTION 1. Psychologie normale, page 26. SECTION 2. Psychologie pathologique, pages 26 et 27. SECTION 1. Zoologie générale, pages 29 à 56. SECTION 2. Zoologie parasitaire, pages 57 à 61. SECTION 1. Botanique générale, pages 61 à 69. SECTION 2. Agriculture, pages 70 à 75. SECTION 1. Faits et documents, pages 1 et 2. SECTION 2. Guerres et révolutions, pages 2 à 6. SECTION 3. Personnages et célébrités, pages 6 et 7.
	CHAPITRE F. Zoologie. . . . .	
	CHAPITRE G. Botanique. . . . .	
	CHAPITRE H. Photomicrographies, voir Catalogue spécial n° 108.	
	CHAPITRE K. Radiographies, voir Catalogue spécial n° 85 et supplément.	
	CHAPITRE A. Histoire. . . . .	
	CHAPITRE B. Anthropologie, pages 7 à 11.	
	CHAPITRE C. Paléontologie, page 11.	
	CHAPITRE D. Ethnographie, page 12.	
	CHAPITRE E. Démographie, page 12.	
CLASSE VI. SOCIOLOGIE. . . . .	CHAPITRE F. Religions, pages 12 à 15.	} SECTION 1. Mœurs, page 15. SECTION 2. Peines, page 16. SECTION 3. Récompenses, page 16. SECTION 4. Alcoolisme, page 16. SECTION 5. Instruction, pages 16 et 17. SECTION 6. Arts scientifiques et arts industriels, page 17. SECTION 7. Esthétique scientifique, page 17. SECTION 1. Plastique, Sculpture, pages 17 à 19. SECTION 2. Peinture, Dessin, Gravure, p. 19 à 22. SECTION 3. Architecture et Construction, p. 22 à 27. SECTION 4. Poésie, Littérature, page 27. SECTION 5. Musique, Danse, page 27. SECTION 6. Art théâtral, page 27. SECTION 7. Arts décoratifs, Modes, Costumes, p. 27 à 29.
	CHAPITRE G. Philosophie, page 15.	
	CHAPITRE H. Morale publique. . . . .	
	CHAPITRE K. Beaux-Arts . . . . .	

Remarque Importante : Les pages de chaque Classe sont numérotées à partir de 1.

## RADIGUET & MASSIOT

44, Rue du Château-d'Eau, Paris (X<sup>e</sup> Arr.)



Demander notre Catalogue spécial à la Cinématographie

